

# fermionic Matrix Product Stateを用いた Generalized Thouless Pumpの不变量について

基礎物理学研究所 大山修平

共同研究者：塩崎謙 佐藤昌利

based on arxiv:2206.01110

(PRBにaccept済み)

# 目次

- 研究の背景

SRE状態とGTPについて

- 研究の目的と方法

MPSを用いたinteracting fermionic systemにおけるGTPの検証

- 結果 1 : Pump不変量の定義

fundamental theorem for fMPS

Pump不変量の定義

- 結果 2 : Pump不変量の計算

non-trivial phaseにおけるpump

trivial phaseにおけるpump

- まとめ

# ガチャガチャ模型の定義

例) ガチャガチャ模型

# ガチャガチャ模型の定義

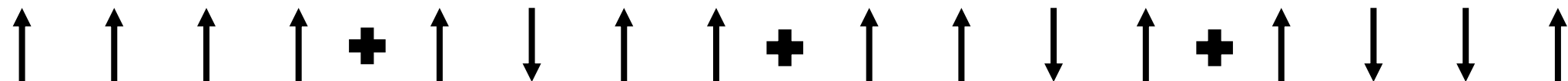
例) ガチャガチャ模型

矢印(↑↓)を並べて間に丸(白/黒)を置く。両端は上向きに固定。

# ガチャガチャ模型の定義

例) ガチャガチャ模型

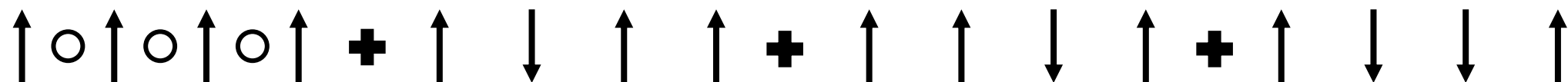
上/下矢印を並べて間に黒/白丸を置く。両端は上向きに固定。



# ガチャガチャ模型の定義

例) ガチャガチャ模型

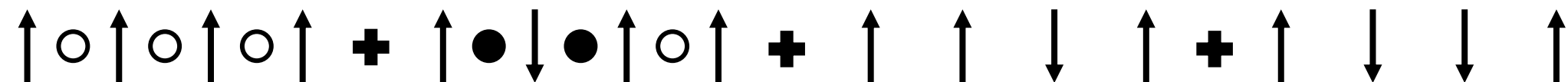
上/下矢印を並べて間に黒/白丸を置く。両端は上向きに固定。



# ガチャガチャ模型の定義

例) ガチャガチャ模型

上/下矢印を並べて間に黒/白丸を置く。両端は上向きに固定。



# ガチャガチャ模型の定義

例) ガチャガチャ模型

上/下矢印を並べて間に黒/白丸を置く。両端は上向きに固定。

↑○↑○↑○↑ + ↑●↓●↑○↑ + ↑○↑●↓●↑ + ↑ ↓ ↓ ↑

# ガチャガチャ模型の定義

例) ガチャガチャ模型

上/下矢印を並べて間に黒/白丸を置く。両端は上向きに固定。

↑○↑○↑○↑ + ↑●↓●↑○↑ + ↑○↑●↓●↑ + ↑●↓○↓●↑

# ガチャガチャ模型の定義

例) ガチャガチャ模型

上/下矢印を並べて間に黒/白丸を置く。両端は上向きに固定。

↑○↑○↑○↑ + ↑●↓●↑○↑ + ↑○↑●↓●↑ + ↑●↓○↓●↑

↓ 矢印を180度回す

# ガチャガチャ模型の定義

例) ガチャガチャ模型

上/下矢印を並べて間に黒/白丸を置く。両端は上向きに固定。

↑○↑○↑○↑ + ↑●↓●↑○↑ + ↑○↑●↓●↑ + ↑●↓○↓●↑

↓ 矢印を180度回す

↑○↓○↓○↑ + ↑●↑●↓○↑ + ↑○↓●↑●↑ + ↑●↑○↑●↑

# ガチャガチャ模型の定義

例) ガチャガチャ模型

上/下矢印を並べて間に黒/白丸を置く。両端は上向きに固定。

↑○↑○↑○↑ + ↑●↓●↑○↑ + ↑○↑●↓●↑ + ↑●↓○↓●↑  
-----

↓ 矢印を180度回す

↑○↓○↓○↑ + ↑●↑●↓○↑ + ↑○↓●↑●↑ + ↑●↑○↑●↑  
-----

# ガチャガチャ模型の定義

例) ガチャガチャ模型

上/下矢印を並べて間に黒/白丸を置く。両端は上向きに固定。

$$\begin{array}{c} \uparrow \circ \uparrow \circ \uparrow \circ \uparrow + \uparrow \bullet \downarrow \bullet \uparrow \circ \uparrow + \uparrow \circ \uparrow \bullet \downarrow \bullet \uparrow + \uparrow \bullet \downarrow \circ \downarrow \bullet \uparrow \\ \hline \text{-----} \end{array}$$

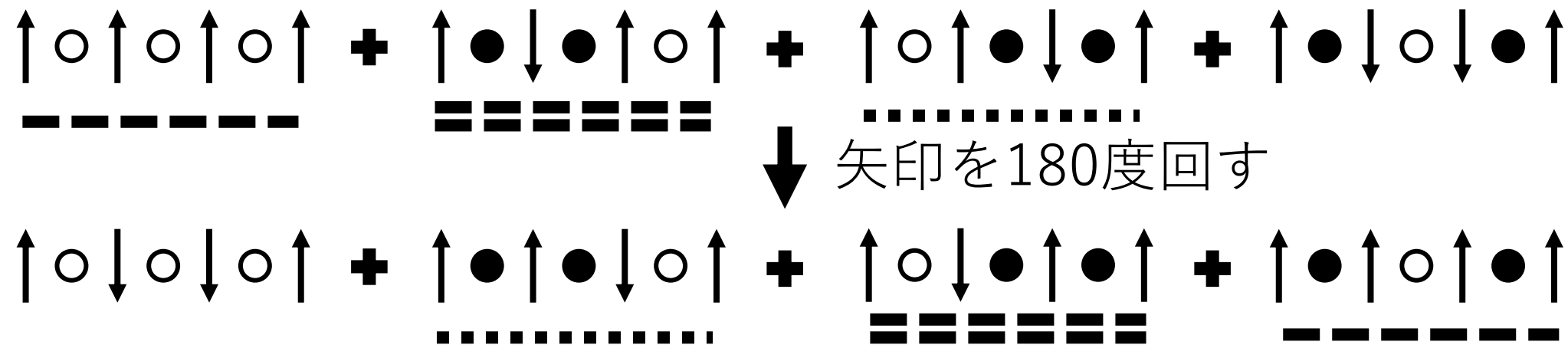
↓ 矢印を180度回す

$$\begin{array}{c} \uparrow \circ \downarrow \circ \downarrow \circ \uparrow + \uparrow \bullet \uparrow \bullet \downarrow \circ \uparrow + \uparrow \circ \downarrow \bullet \uparrow \bullet \uparrow + \uparrow \bullet \uparrow \circ \uparrow \bullet \uparrow \\ \hline \text{-----} \end{array}$$

# ガチャガチャ模型の定義

例) ガチャガチャ模型

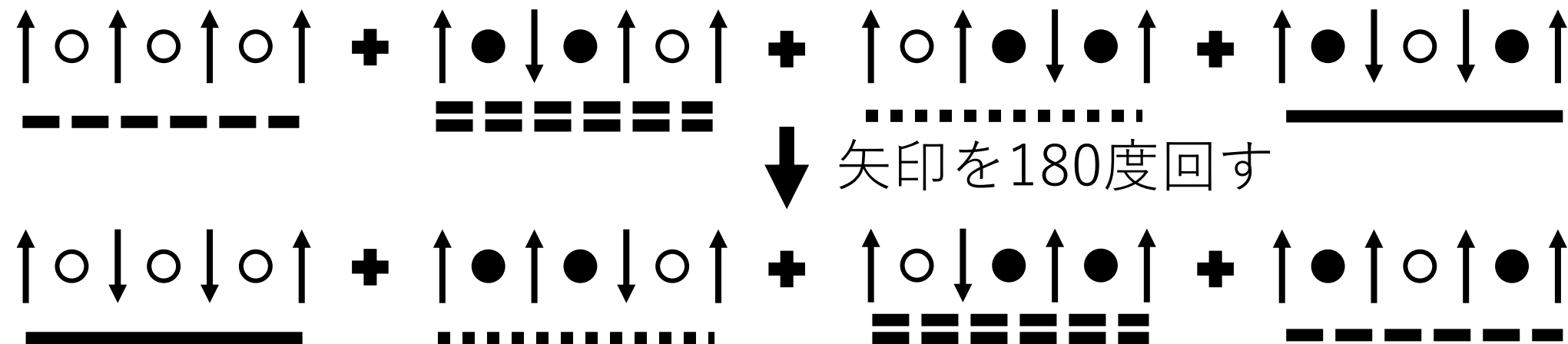
上/下矢印を並べて間に黒/白丸を置く。両端は上向きに固定。



# ガチャガチャ模型の定義

例) ガチャガチャ模型

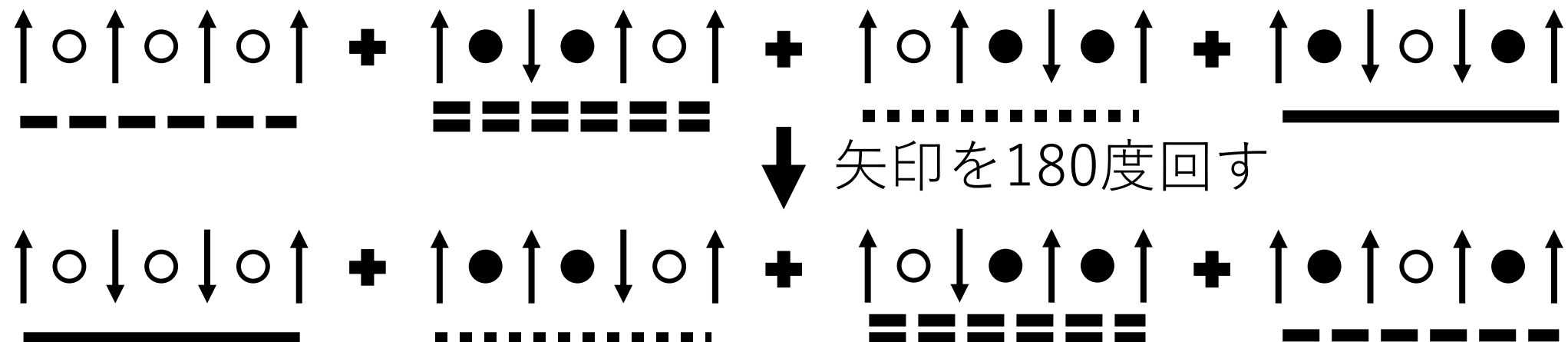
上/下矢印を並べて間に黒/白丸を置く。両端は上向きに固定。



# ガチャガチャ模型の定義

例) ガチャガチャ模型

上/下矢印を並べて間に黒/白丸を置く。両端は上向きに固定。



系の片方の端からもう片方の端ににZ/2 chargeがpumpされた。

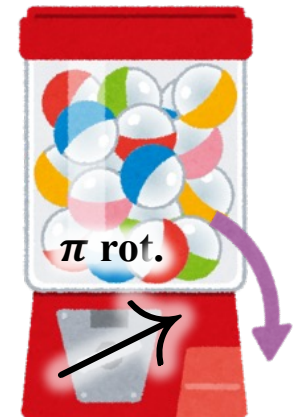
# ガチャガチャ模型の定義

例) ガチャガチャ模型

上/下矢印を並べて間に黒/白丸を置く。両端は上向きに固定。

$$\begin{array}{c} \uparrow \circ \uparrow \circ \uparrow \circ \uparrow + \uparrow \bullet \downarrow \bullet \uparrow \circ \uparrow + \uparrow \circ \uparrow \bullet \downarrow \bullet \uparrow + \uparrow \bullet \downarrow \circ \downarrow \bullet \uparrow \\ \hline \end{array} \quad \begin{array}{c} \uparrow \circ \downarrow \circ \downarrow \circ \uparrow + \uparrow \bullet \uparrow \bullet \downarrow \circ \uparrow + \uparrow \circ \downarrow \bullet \uparrow \bullet \uparrow + \uparrow \bullet \uparrow \circ \uparrow \bullet \uparrow \\ \hline \end{array}$$

↓ 矢印を180度回す



系の片方の端からもう片方の端ににZ/2 chargeがpumpされた。

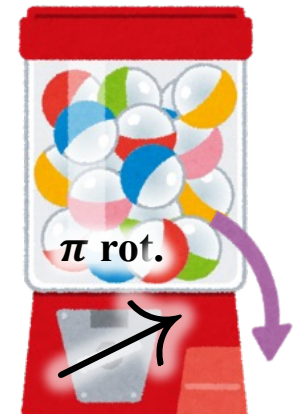
# ガチャガチャ模型の定義

例) ガチャガチャ模型

上/下矢印を並べて間に黒/白丸を置く。両端は上向きに固定。

$$\begin{array}{c} \uparrow \circ \uparrow \circ \uparrow \circ \uparrow + \uparrow \bullet \downarrow \bullet \uparrow \circ \uparrow + \uparrow \circ \uparrow \bullet \downarrow \bullet \uparrow + \uparrow \bullet \downarrow \circ \downarrow \bullet \uparrow \\ \hline \end{array} \quad \begin{array}{c} \uparrow \circ \downarrow \circ \downarrow \circ \uparrow + \uparrow \bullet \uparrow \bullet \downarrow \circ \uparrow + \uparrow \circ \downarrow \bullet \uparrow \bullet \uparrow + \uparrow \bullet \uparrow \circ \uparrow \bullet \uparrow \\ \hline \end{array}$$

↓ 矢印を180度回す



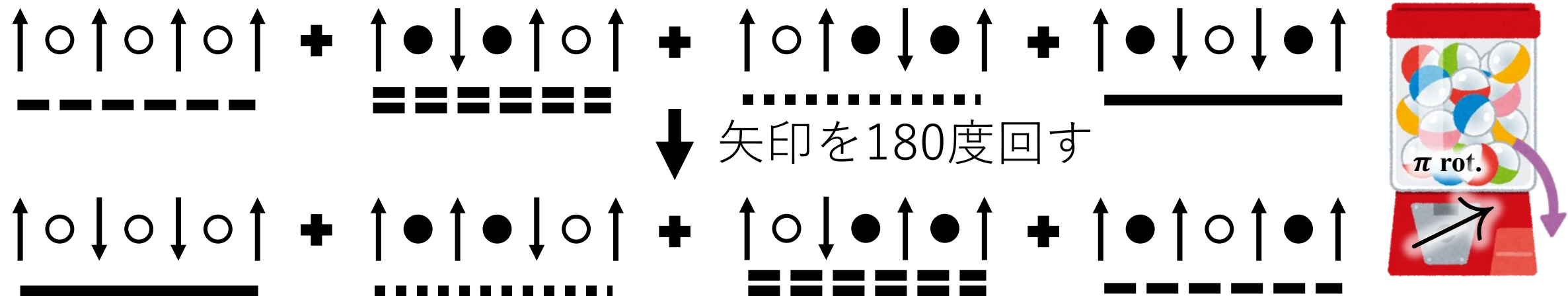
系の片方の端からもう片方の端ににZ/2 chargeがpumpされた。

★ 矢印をspin, 丸をcpx. fermionに読み替えると以下のHam.で実現できる：

# ガチャガチャ模型の定義

例) ガチャガチャ模型

上/下矢印を並べて間に黒/白丸を置く。両端は上向きに固定。



系の片方の端からもう片方の端ににZ/2 chargeがpumpされた。

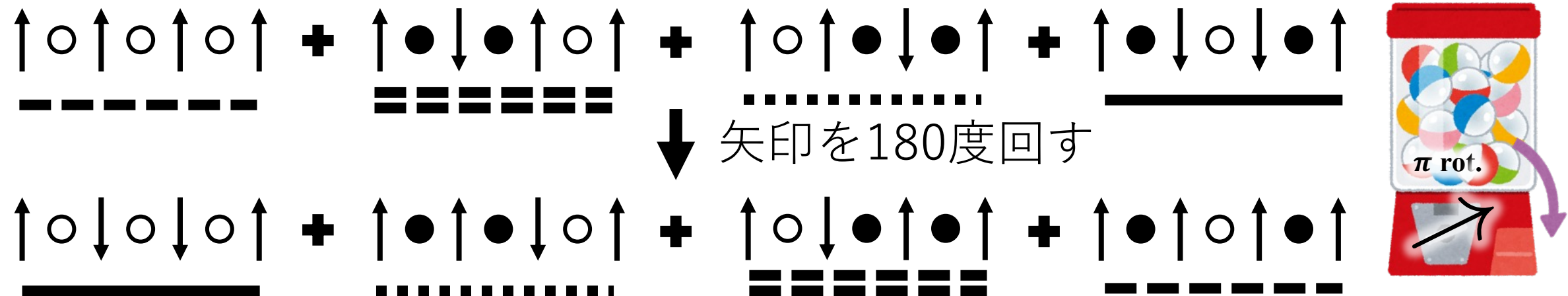
★ 矢印をspin, 丸をcpx. fermionに読み替えると以下のHam.で実現できる：

$$H(\theta) = - \sum_j (a_j^\dagger - a_j) \tau_{j+\frac{1}{2}}^x (a_{j+1}^\dagger + a_{j+1}) - \sum_j \tau_{j-\frac{1}{2}}^{z,\theta} (1 - 2a_j^\dagger a_j) \tau_{j+\frac{1}{2}}^{z,\theta}$$

# ガチャガチャ模型の定義

例) ガチャガチャ模型

上/下矢印を並べて間に黒/白丸を置く。両端は上向きに固定。



系の片方の端からもう片方の端ににZ/2 chargeがpumpされた。

★ 矢印をspin, 丸をcpx. fermionに読み替えると以下のHam.で実現できる：

$$H(\theta) = - \sum_j (a_j^\dagger - a_j) \tau_{j+\frac{1}{2}}^x (a_{j+1}^\dagger + a_{j+1}) - \sum_j \tau_{j-\frac{1}{2}}^{z,\theta} (1 - 2a_j^\dagger a_j) \tau_{j+\frac{1}{2}}^{z,\theta}$$

ただし  $\tau_j^{z,\theta} = e^{i\frac{\theta}{2}\tau_j^x} \tau_j^z e^{-i\frac{\theta}{2}\tau_j^x}$ 。このとき  $H(0) = H(\pi)$ 。

# ガチャガチャ模型の特徴

例) ガチャガチャ模型

$$H(\theta) = - \sum_j (a_j^\dagger - a_j) \tau_{j+\frac{1}{2}}^x (a_{j+1}^\dagger + a_{j+1}) - \sum_j \tau_{j-\frac{1}{2}}^{z,\theta} (1 - 2a_j^\dagger a_j) \tau_{j+\frac{1}{2}}^{z,\theta}$$

# ガチャガチャ模型の特徴

例) ガチャガチャ模型

$$H(\theta) = - \sum_j (a_j^\dagger - a_j) \tau_{j+\frac{1}{2}}^x (a_{j+1}^\dagger + a_{j+1}) - \sum_j \tau_{j-\frac{1}{2}}^{z,\theta} (1 - 2a_j^\dagger a_j) \tau_{j+\frac{1}{2}}^{z,\theta}$$

- 各  $\theta$  に対して uniqueかつgappedなHamiltonianである。  
このようなHam.のG.S.を**Short-Range Entangled(SRE)**状態という。

# ガチャガチャ模型の特徴

例) ガチャガチャ模型

$$H(\theta) = - \sum_j (a_j^\dagger - a_j) \tau_{j+\frac{1}{2}}^x (a_{j+1}^\dagger + a_{j+1}) - \sum_j \tau_{j-\frac{1}{2}}^{z,\theta} (1 - 2a_j^\dagger a_j) \tau_{j+\frac{1}{2}}^{z,\theta}$$

- 各  $\theta$  に対してuniqueかつgappedなHamiltonianである。  
このようなHam.のG.S.を**Short-Range Entangled(SRE)**状態という。
- 各  $\theta$  に対して適当なunitary変換を行うと,  $\theta=0$ にできる:

# ガチャガチャ模型の特徴

例) ガチャガチャ模型

$$H(\theta) = - \sum_j (a_j^\dagger - a_j) \tau_{j+\frac{1}{2}}^x (a_{j+1}^\dagger + a_{j+1}) - \sum_j \tau_{j-\frac{1}{2}}^{z,\theta} (1 - 2a_j^\dagger a_j) \tau_{j+\frac{1}{2}}^{z,\theta}$$

- 各  $\theta$  に対してuniqueかつgappedなHamiltonianである。  
このようなHam.のG.S.を**Short-Range Entangled(SRE)**状態という。
- 各  $\theta$  に対して適当なunitary変換を行うと,  $\theta=0$ にできる:

$$H(\theta) = \left( \prod_j e^{i\frac{\theta}{2}\tau_j^x} \right) H(0) \left( \prod_j e^{i\frac{\theta}{2}\tau_j^x} \right)^\dagger$$

# ガチャガチャ模型の特徴

例) ガチャガチャ模型

$$H(\theta) = - \sum_j (a_j^\dagger - a_j) \tau_{j+\frac{1}{2}}^x (a_{j+1}^\dagger + a_{j+1}) - \sum_j \tau_{j-\frac{1}{2}}^{z,\theta} (1 - 2a_j^\dagger a_j) \tau_{j+\frac{1}{2}}^{z,\theta}$$

- 各  $\theta$  に対してuniqueかつgappedなHamiltonianである。  
このようなHam.のG.S.を**Short-Range Entangled(SRE)**状態という。
- 各  $\theta$  に対して適当なunitary変換を行うと,  $\theta=0$ にできる:

$$H(\theta) = \left( \prod_j e^{i\frac{\theta}{2}\tau_j^x} \right) H(0) \left( \prod_j e^{i\frac{\theta}{2}\tau_j^x} \right)^\dagger$$

すなわち各  $\theta$  におけるHam.は本質的に同じもの.

# ガチャガチャ模型の特徴

例) ガチャガチャ模型

$$H(\theta) = - \sum_j (a_j^\dagger - a_j) \tau_{j+\frac{1}{2}}^x (a_{j+1}^\dagger + a_{j+1}) - \sum_j \tau_{j-\frac{1}{2}}^{z,\theta} (1 - 2a_j^\dagger a_j) \tau_{j+\frac{1}{2}}^{z,\theta}$$

- 各  $\theta$  に対して uniqueかつgappedなHamiltonianである。  
このようなHam.のG.S.を**Short-Range Entangled(SRE)**状態という。
- 各  $\theta$  に対して適当なunitary変換を行うと,  $\theta=0$ にできる:

$$H(\theta) = \left( \prod_j e^{i\frac{\theta}{2}\tau_j^x} \right) H(0) \left( \prod_j e^{i\frac{\theta}{2}\tau_j^x} \right)^\dagger$$

すなわち各  $\theta$  におけるHam.は本質的に同じもの.

つまり pump は unique gapped Ham. の族としての非自明性と関係する.

# ガチャガチャ模型の特徴

例) ガチャガチャ模型

$$H(\theta) = - \sum_j (a_j^\dagger - a_j) \tau_{j+\frac{1}{2}}^x (a_{j+1}^\dagger + a_{j+1}) - \sum_j \tau_{j-\frac{1}{2}}^{z,\theta} (1 - 2a_j^\dagger a_j) \tau_{j+\frac{1}{2}}^{z,\theta}$$

- 各  $\theta$  に対して uniqueかつgappedなHamiltonianである。  
このようなHam.のG.S.を**Short-Range Entangled(SRE)**状態という。
- 各  $\theta$  に対して適当なunitary変換を行うと,  $\theta=0$ にできる:

$$H(\theta) = \left( \prod_j e^{i\frac{\theta}{2}\tau_j^x} \right) H(0) \left( \prod_j e^{i\frac{\theta}{2}\tau_j^x} \right)^\dagger$$

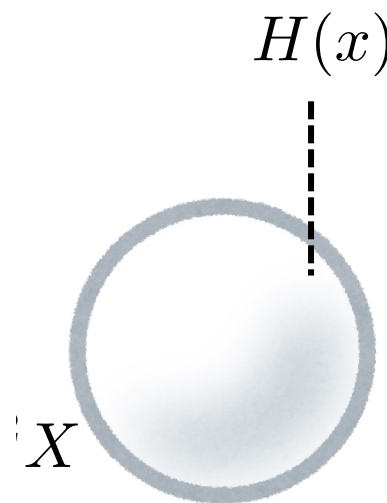
すなわち各  $\theta$  におけるHam.は本質的に同じもの.

つまり pump は unique gapped Ham. の族としての非自明性と関係する.

(Kitaevの予想から一般的に期待されている. [Kitaev10])

# 一般的な問い合わせ

$d+1$ 次元のSRE状態の族に対して、族としての非自明さを測る量は何か？



$X$  : parameter空間  
 $H(x)$  :  $d+1$ 次元 unique gapped Ham.

# 目次

- 研究の背景

SRE状態とGTPについて

- 研究の目的と方法

MPSを用いたinteracting fermionic systemにおけるGTPの検証

- 結果 1 : Pump不変量の定義

fundamental theorem for fMPS

Pump不変量の定義

- 結果 2 : Pump不変量の計算

non-trivial phaseにおけるpump

trivial phaseにおけるpump

- まとめ

# 研究の目的と方法

$X = S^1$ の場合の先行研究

# 研究の目的と方法

X=S<sup>1</sup>の場合の先行研究

	自明相	非自明相
free fermion	fermion parity[Teo-Kane]	fermion parity[Teo-Kane]

# 研究の目的と方法

$X=S^1$ の場合の先行研究

※自明相：product stateと連続的に繋がる  
非自明相：自明相以外

	自明相	非自明相
free fermion	fermion parity[Teo-Kane]	fermion parity[Teo-Kane]

# 研究の目的と方法

$X=S^1$ の場合の先行研究

※自明相：product stateと連続的に繋がる  
非自明相：自明相以外

	自明相	非自明相
free fermion	fermion parity[Teo-Kane]	fermion parity[Teo-Kane]
interacting fermion	未検証	未検証

# 研究の目的と方法

$X=S^1$ の場合の先行研究

※自明相：product stateと連続的に繋がる  
非自明相：自明相以外

	自明相	非自明相
free fermion	fermion parity[Teo-Kane]	fermion parity[Teo-Kane]
interacting fermion	未検証	未検証

目的

# 研究の目的と方法

$X=S^1$ の場合の先行研究

※自明相：product stateと連続的に繋がる  
非自明相：自明相以外

	自明相	非自明相
free fermion	fermion parity[Teo-Kane]	fermion parity[Teo-Kane]
interacting fermion	未検証	未検証

目的

※一般には難しいので次元を1+1次元に限定する

# 研究の目的と方法

$X=S^1$ の場合の先行研究

※自明相：product stateと連続的に繋がる  
非自明相：自明相以外

	自明相	非自明相
free fermion	fermion parity[Teo-Kane]	fermion parity[Teo-Kane]
interacting fermion	未検証	未検証

目的

※一般には難しいので次元を1+1次元に限定する

目的：

1+1次元interacting fermion系において**自明相/非自明相のS1族を分類**.

# 研究の目的と方法

$X=S^1$ の場合の先行研究

※自明相：product stateと連続的に繋がる  
非自明相：自明相以外

	自明相	非自明相
free fermion	fermion parity[Teo-Kane]	fermion parity[Teo-Kane]
interacting fermion	未検証	未検証

目的

※一般には難しいので次元を1+1次元に限定する

目的：

1+1次元interacting fermion系において**自明相/非自明相のS1族を分類.**  
= SRE状態の $S^1$  familyに対して不変量を構成したい.

# 研究の目的と方法

$X=S^1$ の場合の先行研究

※自明相：product stateと連続的に繋がる  
非自明相：自明相以外

	自明相	非自明相
free fermion	fermion parity[Teo-Kane]	fermion parity[Teo-Kane]
interacting fermion	未検証	未検証

目的

※一般には難しいので次元を1+1次元に限定する

目的：

1+1次元interacting fermion系において**自明相/非自明相のS1族を分類**.

= SRE状態の $S^1$  familyに対して不変量を構成したい.

方法：

$Z/2$ -graded central simpleなfermionic Matrix Product Stateの利用.

# 研究の目的と方法

$X=S^1$ の場合の先行研究

※自明相：product stateと連続的に繋がる  
非自明相：自明相以外

	自明相	非自明相
free fermion	fermion parity[Teo-Kane]	fermion parity[Teo-Kane]
interacting fermion	未検証	未検証

目的

※一般には難しいので次元を1+1次元に限定する

目的：

1+1次元interacting fermion系において**自明相/非自明相のS1族を分類**.

= SRE状態の $S^1$  familyに対して不変量を構成したい.

方法：

Z/2-graded central simpleなfermionic Matrix Product Stateの利用.

# 研究の目的と方法

$X=S^1$ の場合の先行研究

※自明相：product stateと連続的に繋がる  
非自明相：自明相以外

	自明相	非自明相
free fermion	fermion parity[Teo-Kane]	fermion parity[Teo-Kane]
interacting fermion	未検証	未検証

目的

※一般には難しいので次元を1+1次元に限定する

目的：

1+1次元interacting fermion系において**自明相/非自明相のS1族を分類**.

= SRE状態の $S^1$  familyに対して不変量を構成したい.

方法： 次のスライドで説明

Z/2-graded central simple fermionic Matrix Product Stateの利用.

# 研究の目的と方法

$X=S^1$ の場合の先行研究

※自明相：product stateと連続的に繋がる  
非自明相：自明相以外

	自明相	非自明相
free fermion	fermion parity[Teo-Kane]	fermion parity[Teo-Kane]
interacting fermion	未検証	未検証

目的

※一般には難しいので次元を1+1次元に限定する

目的：

1+1次元interacting fermion系において**自明相/非自明相のS1族を分類**.

= SRE状態の $S^1$  familyに対して不変量を構成したい.

方法： 次のスライドで説明

Z/2-graded central simple fermionic Matrix Product Stateの利用.

# 研究の目的と方法

$X=S^1$ の場合の先行研究

※自明相：product stateと連続的に繋がる  
非自明相：自明相以外

	自明相	非自明相
free fermion	fermion parity[Teo-Kane]	fermion parity[Teo-Kane]
interacting fermion	未検証	未検証

目的

※一般には難しいので次元を1+1次元に限定する

目的：

1+1次元interacting fermion系において**自明相/非自明相のS1族を分類**.

= SRE状態の $S^1$  familyに対して不変量を構成したい.

方法： 次のスライドで説明

次の次のスライドで説明

Z/2-graded central simple fermionic Matrix Product Stateの利用.

# 目次

- 研究の背景

SRE状態とGTPについて

- 研究の目的と方法

MPSを用いたinteracting fermionic systemにおけるGTPの検証

- 結果 1 : Pump不変量の定義

fundamental theorem for fMPS

Pump不変量の定義

- 結果 2 : Pump不変量の計算

non-trivial phaseにおけるpump

trivial phaseにおけるpump

- まとめ

# Z/2-graded Central Simple Algebra(CSA)

Z/2-gr. CSAは抽象的に定義されるが今回のトークでは使わないので割愛

# Z/2-graded Central Simple Algebra(CSA)

Z/2-gr. CSAは抽象的に定義されるが今回のトークでは使わないので割愛

## 大事な点

①

②

# Z/2-graded Central Simple Algebra(CSA)

Z/2-gr. CSAは抽象的に定義されるが今回のトークでは使わないので割愛

## 大事な点

① Z/2-gr. CSA  $\mathcal{A}$  は以下の 2 パターンのどちらかに同型(Wall の定理) :

②

# Z/2-graded Central Simple Algebra(CSA)

Z/2-gr. CSAは抽象的に定義されるが今回のトークでは使わないので割愛

## 大事な点

- ① Z/2-gr. CSA  $\mathcal{A}$  は以下の 2 パターンのどちらかに同型(Wall の定理)：  
(+)-type :

②

# Z/2-graded Central Simple Algebra(CSA)

Z/2-gr. CSAは抽象的に定義されるが今回のトークでは使わないので割愛

## 大事な点

① Z/2-gr. CSA  $\mathcal{A}$  は以下の 2 パターンのどちらかに同型(Wall の定理) :

$$(+)\text{-type} : \mathcal{A} \simeq \mathrm{Mat}_{2n}(\mathbb{C})$$

②

# Z/2-graded Central Simple Algebra(CSA)

Z/2-gr. CSAは抽象的に定義されるが今回のトークでは使わないので割愛

## 大事な点

① Z/2-gr. CSA  $\mathcal{A}$  は以下の 2 パターンのどちらかに同型(Wall の定理) :

$$(+)\text{-type} : \mathcal{A} \simeq \mathrm{Mat}_{2n}(\mathbb{C})$$

$$(-)\text{-type} :$$

②

# Z/2-graded Central Simple Algebra(CSA)

Z/2-gr. CSAは抽象的に定義されるが今回のトークでは使わないので割愛

## 大事な点

① Z/2-gr. CSA  $\mathcal{A}$  は以下の 2 パターンのどちらかに同型(Wall の定理) :

$$(+)\text{-type} : \mathcal{A} \simeq \mathrm{Mat}_{2n}(\mathbb{C})$$

$$(-)\text{-type} : \mathcal{A} \simeq \mathrm{Mat}_n(\mathbb{C}) \oplus \mathrm{Mat}_n(\mathbb{C})$$

②

# Z/2-graded Central Simple Algebra(CSA)

Z/2-gr. CSAは抽象的に定義されるが今回のトークでは使わないので割愛

## 大事な点

- ① Z/2-gr. CSA  $\mathcal{A}$  は以下の 2 パターンのどちらかに同型(Wall の定理)：
  - (+)-type :  $\mathcal{A} \simeq \text{Mat}_{2n}(\mathbb{C})$
  - (-)-type :  $\mathcal{A} \simeq \text{Mat}_n(\mathbb{C}) \oplus \text{Mat}_n(\mathbb{C})$
- ② Z/2-gr. CSAには  $u^2 \propto 1$  を満たす元  $u$  が存在する.

# Z/2-graded Central Simple Algebra(CSA)

Z/2-gr. CSAは抽象的に定義されるが今回のトークでは使わないので割愛

## 大事な点

① Z/2-gr. CSA  $\mathcal{A}$  は以下の 2 パターンのどちらかに同型(Wall の定理) :

$$(+)\text{-type} : \mathcal{A} \simeq \mathrm{Mat}_{2n}(\mathbb{C})$$

$$(-)\text{-type} : \mathcal{A} \simeq \mathrm{Mat}_n(\mathbb{C}) \oplus \mathrm{Mat}_n(\mathbb{C})$$

② Z/2-gr. CSAには  $u^2 \propto 1$  を満たす元  $u$  が存在する.

上の行列表示において  $u$  は以下の行列で与えられる :

# Z/2-graded Central Simple Algebra(CSA)

Z/2-gr. CSAは抽象的に定義されるが今回のトークでは使わないので割愛

## 大事な点

① Z/2-gr. CSA  $\mathcal{A}$  は以下の 2 パターンのどちらかに同型(Wall の定理) :

$$(+)\text{-type} : \mathcal{A} \simeq \mathrm{Mat}_{2n}(\mathbb{C})$$

$$(-)\text{-type} : \mathcal{A} \simeq \mathrm{Mat}_n(\mathbb{C}) \oplus \mathrm{Mat}_n(\mathbb{C})$$

② Z/2-gr. CSAには  $u^2 \propto 1$  を満たす元  $u$  が存在する.

上の行列表示において  $u$  は以下の行列で与えられる :

$$(+)\text{-type} : u \propto \begin{pmatrix} 1_n & \\ & -1_n \end{pmatrix}$$

# Z/2-graded Central Simple Algebra(CSA)

Z/2-gr. CSAは抽象的に定義されるが今回のトークでは使わないので割愛

## 大事な点

① Z/2-gr. CSA  $\mathcal{A}$  は以下の 2 パターンのどちらかに同型(Wall の定理) :

$$(+)\text{-type} : \mathcal{A} \simeq \mathrm{Mat}_{2n}(\mathbb{C})$$

$$(-)\text{-type} : \mathcal{A} \simeq \mathrm{Mat}_n(\mathbb{C}) \oplus \mathrm{Mat}_n(\mathbb{C})$$

② Z/2-gr. CSAには  $u^2 \propto 1$  を満たす元  $u$  が存在する.

上の行列表示において  $u$  は以下の行列で与えられる :

$$(+)\text{-type} : u \propto \begin{pmatrix} 1_n & \\ & -1_n \end{pmatrix} \quad (-)\text{-type} : u \propto \begin{pmatrix} & -1_n \\ 1_n & \end{pmatrix}$$

# Z/2-graded Central Simple Algebra(CSA)

Z/2-gr. CSAは抽象的に定義されるが今回のトークでは使わないので割愛

## 大事な点

① Z/2-gr. CSA  $\mathcal{A}$  は以下の 2 パターンのどちらかに同型(Wall の定理)：

$$(+)\text{-type} : \mathcal{A} \simeq \mathrm{Mat}_{2n}(\mathbb{C})$$

$$(-)\text{-type} : \mathcal{A} \simeq \mathrm{Mat}_n(\mathbb{C}) \oplus \mathrm{Mat}_n(\mathbb{C})$$

② Z/2-gr. CSAには  $u^2 \propto 1$  を満たす元  $u$  が存在する。

上の行列表示において  $u$  は以下の行列で与えられる：

$$(+)\text{-type} : u \propto \begin{pmatrix} 1_n & \\ & -1_n \end{pmatrix} \quad (-)\text{-type} : u \propto \begin{pmatrix} & -1_n \\ 1_n & \end{pmatrix}$$

# fermionic Matrix Product State (fMPS)

Z/2-gr. central simple matrices :  $\{A^i\}$  :  $2n \times 2n$  行列の組

# fermionic Matrix Product State (fMPS)

Z/2-gr. central simple matrices :  $\{A^i\}$  :  $2n \times 2n$  行列の組

s.t.  $\mathcal{A} = \text{Span}(\{A^i\})$  が Z/2-gr. CSA

# fermionic Matrix Product State (fMPS)

Z/2-gr. central simple matrices :  $\{A^i\}$  :  $2n \times 2n$  行列の組

s.t.  $\mathcal{A} = \text{Span}(\{A^i\})$  が Z/2-gr. CSA with some technical conditions.

# fermionic Matrix Product State (fMPS)

Z/2-gr. central simple matrices :  $\{A^i\}$  :  $2n \times 2n$  行列の組

s.t.  $\mathcal{A} = \text{Span}(\{A^i\})$  が Z/2-gr. CSA with some technical conditions.

このとき次で状態を定める :  $|\{A^i, u\}\rangle = \sum \text{tr}(u A^{i_1} \cdots A^{i_L}) |i_1, \dots, i_L\rangle$

# fermionic Matrix Product State (fMPS)

Z/2-gr. central simple matrices :  $\{A^i\}$  :  $2n \times 2n$  行列の組

s.t.  $\mathcal{A} = \text{Span}(\{A^i\})$  が Z/2-gr. CSA with some technical conditions.

このとき次で状態を定める :  $|\{A^i, u\}\rangle = \sum \text{tr}(u A^{i_1} \cdots A^{i_L}) |i_1, \dots, i_L\rangle$

すると  $|\{A^i, u\}\rangle$  は fermionic SRE 状態を与える [Bultinck, et.al.,]

# fermionic Matrix Product State (fMPS)

Z/2-gr. central simple matrices :  $\{A^i\}$  :  $2n \times 2n$  行列の組

s.t.  $\mathcal{A} = \text{Span}(\{A^i\})$  が Z/2-gr. CSA with some technical conditions.

このとき次で状態を定める :  $|\{A^i, u\}\rangle = \sum \text{tr}(u A^{i_1} \cdots A^{i_L}) |i_1, \dots, i_L\rangle$

すると  $|\{A^i, u\}\rangle$  は fermionic SRE 状態を与える [Bultinck, et.al.,]

$|\{A^i, u\}\rangle$  : fermionic SRE state  $\Leftrightarrow \{A^i\}$  : Z/2-gr. CSA

# fermionic Matrix Product State (fMPS)

Z/2-gr. central simple matrices :  $\{A^i\}$  :  $2n \times 2n$  行列の組

s.t.  $\mathcal{A} = \text{Span}(\{A^i\})$  が Z/2-gr. CSA with some technical conditions.

このとき次で状態を定める :  $|\{A^i, u\}\rangle = \sum \text{tr}(u A^{i_1} \cdots A^{i_L}) |i_1, \dots, i_L\rangle$

すると  $|\{A^i, u\}\rangle$  は fermionic SRE 状態を与える [Bultinck, et.al.,]

$|\{A^i, u\}\rangle$  : fermionic SRE state  $\Leftrightarrow \{A^i\}$  : Z/2-gr. CSA

例) periodic Kitaev chain :  $H = \sum -a_{j+1}^\dagger a_{j+1} - a_{j+1}^\dagger a_j + a_j^\dagger a_{j+1}^\dagger + a_{j+1} a_j$

# fermionic Matrix Product State (fMPS)

Z/2-gr. central simple matrices :  $\{A^i\}$  :  $2n \times 2n$  行列の組

s.t.  $\mathcal{A} = \text{Span}(\{A^i\})$  が Z/2-gr. CSA with some technical conditions.

このとき次で状態を定める :  $|\{A^i, u\}\rangle = \sum \text{tr}(u A^{i_1} \cdots A^{i_L}) |i_1, \dots, i_L\rangle$

すると  $|\{A^i, u\}\rangle$  は fermionic SRE 状態を与える [Bultinck, et.al.,]

$|\{A^i, u\}\rangle$  : fermionic SRE state  $\Leftrightarrow \{A^i\}$  : Z/2-gr. CSA

例) periodic Kitaev chain :  $H = \sum -a_{j+1}^\dagger a_{j+1} - a_{j+1}^\dagger a_j + a_j^\dagger a_{j+1}^\dagger + a_{j+1} a_j$

このとき行列の組として  $A^0 = \begin{pmatrix} 1 & \\ & 1 \end{pmatrix}$      $A^1 = \begin{pmatrix} & -1 \\ 1 & \end{pmatrix}$      $u = \begin{pmatrix} & -1 \\ 1 & \end{pmatrix}$

とすると  $|\{A^i, u\}\rangle$  は基底状態を与える。

# fermionic Matrix Product State (fMPS)

Z/2-gr. central simple matrices :  $\{A^i\}$  :  $2n \times 2n$  行列の組

s.t.  $\mathcal{A} = \text{Span}(\{A^i\})$  が Z/2-gr. CSA with some technical conditions.

このとき次で状態を定める :  $|\{A^i, u\}\rangle = \sum \text{tr}(u A^{i_1} \cdots A^{i_L}) |i_1, \dots, i_L\rangle$

すると  $|\{A^i, u\}\rangle$  は fermionic SRE 状態を与える [Bultinck, et.al.,]

$|\{A^i, u\}\rangle$  : fermionic SRE state  $\Leftrightarrow \{A^i\}$  : Z/2-gr. CSA

例) periodic Kitaev chain :  $H = \sum -a_{j+1}^\dagger a_{j+1} - a_{j+1}^\dagger a_j + a_j^\dagger a_{j+1}^\dagger + a_{j+1} a_j$

このとき行列の組として  $A^0 = \begin{pmatrix} 1 & \\ & 1 \end{pmatrix}$      $A^1 = \begin{pmatrix} & -1 \\ 1 & \end{pmatrix}$      $u = \begin{pmatrix} & -1 \\ 1 & \end{pmatrix}$

とすると  $|\{A^i, u\}\rangle$  は基底状態を与える。

$\{A^i\}$  の生成する代数  $\mathcal{A}$  は  $\mathcal{A} \simeq \mathbb{C} \oplus \mathbb{C}$

# fermionic Matrix Product State (fMPS)

$\mathbb{Z}/2$ -gr. central simple matrices :  $\{A^i\}$  :  $2n \times 2n$  行列の組

s.t.  $\mathcal{A} = \text{Span}(\{A^i\})$  が  $\mathbb{Z}/2$ -gr. CSA with some technical conditions.

このとき次で状態を定める :  $|\{A^i, u\}\rangle = \sum \text{tr}(u A^{i_1} \cdots A^{i_L}) |i_1, \dots, i_L\rangle$

すると  $|\{A^i, u\}\rangle$  は fermionic SRE 状態を与える [Bultinck, et.al.,]

$|\{A^i, u\}\rangle$  : fermionic SRE state  $\Leftrightarrow \{A^i\}$  :  $\mathbb{Z}/2$ -gr. CSA

例) periodic Kitaev chain :  $H = \sum -a_{j+1}^\dagger a_{j+1} - a_{j+1}^\dagger a_j + a_j^\dagger a_{j+1}^\dagger + a_{j+1} a_j$

このとき行列の組として  $A^0 = \begin{pmatrix} 1 & \\ & 1 \end{pmatrix}$      $A^1 = \begin{pmatrix} & -1 \\ 1 & \end{pmatrix}$      $u = \begin{pmatrix} & -1 \\ 1 & \end{pmatrix}$

とすると  $|\{A^i, u\}\rangle$  は基底状態を与える。

$\{A^i\}$  の生成する代数  $\mathcal{A}$  は  $\mathcal{A} \simeq \mathbb{C} \oplus \mathbb{C}$  より  $\mathbb{Z}/2$ -gr. CSA で type(−).    76/92

# 目次

- 研究の背景

SRE状態とGTPについて

- 研究の目的と方法

MPSを用いたinteracting fermionic systemにおけるGTPの検証

- 結果 1 : Pump不変量の定義

fundamental theorem for fMPS

Pump不変量の定義

- 結果 2 : Pump不変量の計算

non-trivial phaseにおけるpump

trivial phaseにおけるpump

- まとめ

# 不变量の構成のアイデア

$\{A^i(\theta), u(\theta)\}_{\theta \in [0, 2\pi]}$  に対して不变量を構成したい.

# 不变量の構成のアイデア

$\{A^i(\theta), u(\theta)\}_{\theta \in [0, 2\pi]}$  に対して不变量を構成したい.

0+1次元系におけるBerry位相：

# 不变量の構成のアイデア

$\{A^i(\theta), u(\theta)\}_{\theta \in [0, 2\pi]}$  に対して不变量を構成したい.

0+1次元系におけるBerry位相 :

ファイバー  $\mathbb{C}$  : 状態の位相

全空間  $\mathcal{L}$

低空間  $X$  : parameter空間

# 不变量の構成のアイデア

$\{A^i(\theta), u(\theta)\}_{\theta \in [0, 2\pi]}$  に対して不变量を構成したい.

0+1次元系におけるBerry位相 :

ファイバー  $\mathbb{C}$  : 状態の位相

全空間  $\mathcal{L}$

低空間  $X$  : parameter空間

Berry接続/曲率 =  $\mathcal{L}$  のtopology

# 不变量の構成のアイデア

$\{A^i(\theta), u(\theta)\}_{\theta \in [0, 2\pi]}$  に対して不变量を構成したい.

0+1次元系におけるBerry位相 :

ファイバー  $\mathbb{C}$  : 状態の位相

全空間  $\mathcal{L}$

低空間  $X$  : parameter空間

Berry接続/曲率 =  $\mathcal{L}$  のtopology

1+1次元系におけるPump不变量 :

# 不变量の構成のアイデア

$\{A^i(\theta), u(\theta)\}_{\theta \in [0, 2\pi]}$  に対して不变量を構成したい.

0+1次元系におけるBerry位相 :

ファイバー  $\mathbb{C}$  : 状態の位相



全空間  $\mathcal{L}$



低空間  $X$  : parameter空間

Berry接続/曲率 =  $\mathcal{L}$  のtopology

1+1次元系におけるPump不变量 :

ファイバー  $A$  :  $\mathbb{Z}/2$ -gr. CSA



全空間  $\mathcal{A}$

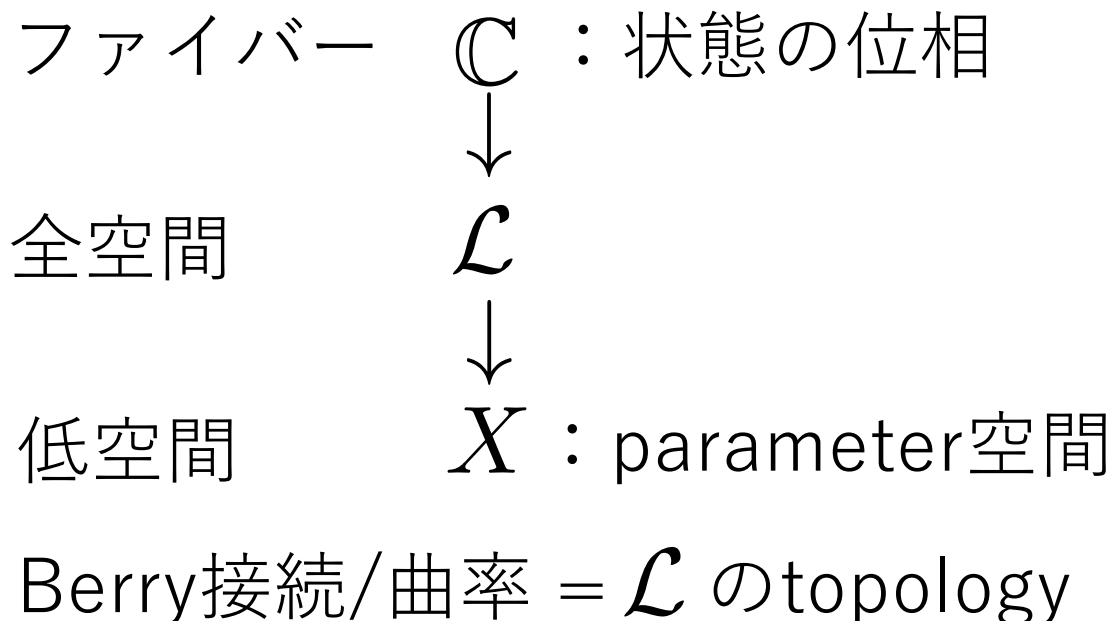


低空間  $X$  : parameter空間

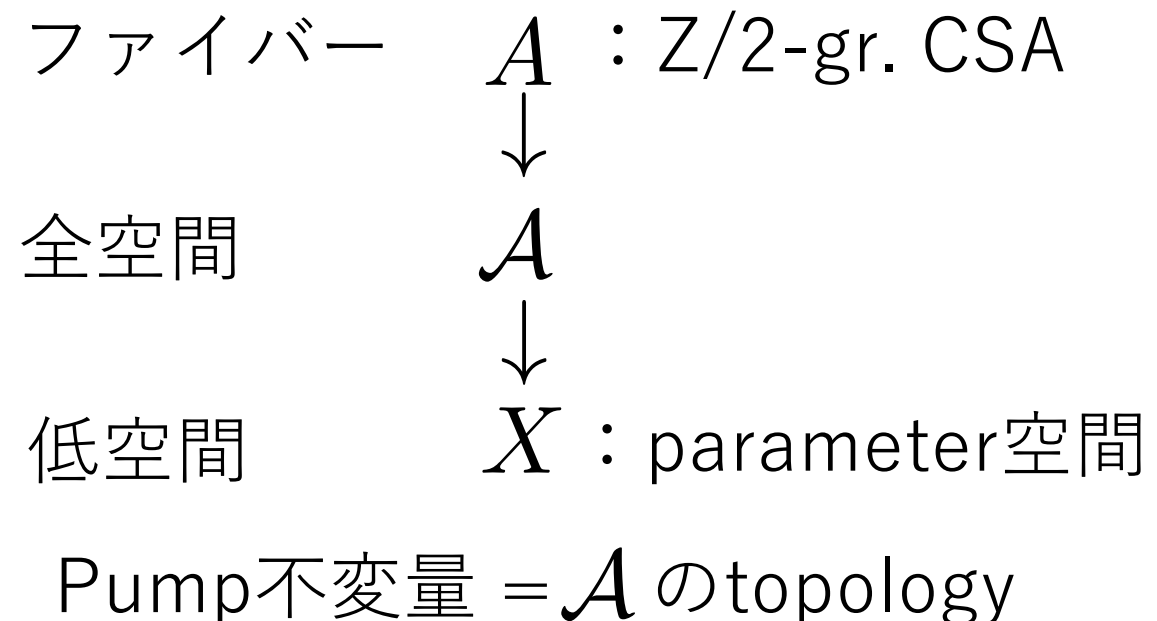
# 不变量の構成のアイデア

$\{A^i(\theta), u(\theta)\}_{\theta \in [0, 2\pi]}$  に対して不变量を構成したい.

0+1次元系におけるBerry位相 :



1+1次元系におけるPump不变量 :



# 不变量の構成のアイデア

$\{A^i(\theta), u(\theta)\}_{\theta \in [0, 2\pi]}$  に対して不变量を構成したい.

0+1次元系におけるBerry位相 :

ファイバー  $\mathbb{C}$  : 状態の位相



全空間  $\mathcal{L}$



低空間  $X$  : parameter空間

Berry接続/曲率 =  $\mathcal{L}$  のtopology

$\mathcal{A}$  の変換関数は何か？

1+1次元系におけるPump不变量 :

ファイバー  $A$  :  $\mathbb{Z}/2$ -gr. CSA



全空間  $\mathcal{A}$



低空間  $X$  : parameter空間

Pump不变量 =  $\mathcal{A}$  のtopology

# 不变量の構成のアイデア

$\{A^i(\theta), u(\theta)\}_{\theta \in [0, 2\pi]}$  に対して不变量を構成したい.

0+1次元系におけるBerry位相 :

ファイバー  $\mathbb{C}$  : 状態の位相



全空間  $\mathcal{L}$



低空間  $X$  : parameter空間

Berry接続/曲率 =  $\mathcal{L}$  のtopology

1+1次元系におけるPump不变量 :

ファイバー  $A$  : Z/2-gr. CSA



全空間  $\mathcal{A}$



低空間  $X$  : parameter空間

Pump不变量 =  $\mathcal{A}$  のtopology

$A$  の変換関数は何か?  $\Leftrightarrow |\{A^i, u\}\rangle \propto |\{A'^i, u'\}\rangle$  の時  $\{A^i\}$  と  $\{A'^i\}$  の関係は?

# 不变量の構成のアイデア

$\{A^i(\theta), u(\theta)\}_{\theta \in [0, 2\pi]}$  に対して不变量を構成したい.

0+1次元系におけるBerry位相 :

ファイバー  $\mathbb{C}$  : 状態の位相



全空間



低空間  $X$  : parameter空間

Berry接続/曲率 =  $\mathcal{L}$  のtopology

1+1次元系におけるPump不变量 :

ファイバー  $A$  :  $\mathbb{Z}/2$ -gr. CSA



全空間



低空間  $X$  : parameter空間

Pump不变量 =  $\mathcal{A}$  のtopology

$A$  の変換関数は何か?  $\Leftrightarrow |\{A^i, u\}\rangle \propto |\{A'^i, u'\}\rangle$  の時  $\{A^i\}$  と  $\{A'^i\}$  の関係は?

→ fermionic MPS の fundamental theorem を証明する必要がある.

# fundamental thm. for Z/2-gr. CS MPS

**Theorem 3.** (fundamental theorem for fMPS with Wall invariant (+))

Let  $\{A^i\}_i$  and  $\{\tilde{A}^i\}_i$  be injective fMPSs with the Wall invariant (+) in the canonical form (111). They give the same physical state in APBC, in other words,  $\{A^i\}_i \sim \{\tilde{A}^i\}_i$  holds if and only if there exist a unitary matrix  $V \in U(2n)$  and a  $U(1)$  phase  $e^{i\beta} \in U(1)$  obeying that

$$\tilde{A}^i = e^{i\beta} V^\dagger A^i V. \quad (112)$$

The unitary matrix  $V$  is unique up to  $U(1)$  phase, and  $e^{i\beta}$  is unique.

# fundamental thm. for Z/2-gr. CS MPS

**Theorem 3.** (fundamental theorem for fMPS with Wall invariant (+))

Let  $\{A^i\}_i$  and  $\{\tilde{A}^i\}_i$  be injective fMPSs with the Wall invariant (+) in the canonical form (111). They give the same physical state in APBC, in other words,  $\{A^i\}_i \sim \{\tilde{A}^i\}_i$  holds if and only if there exist a unitary matrix  $V \in U(2n)$  and a  $U(1)$  phase  $e^{i\beta} \in U(1)$  obeying that

$$\tilde{A}^i = e^{i\beta} V^\dagger A^i V. \quad (112)$$

The unitary matrix  $V$  is unique up to  $U(1)$  phase, and  $e^{i\beta}$  is unique.

変換関数がZ/2-gradingを保つunitary変換のみであることを証明した。

# fundamental thm. for Z/2-gr. CS MPS

**Theorem 3.** (fundamental theorem for fMPS with Wall invariant (+))

Let  $\{A^i\}_i$  and  $\{\tilde{A}^i\}_i$  be injective fMPSs with the Wall invariant (+) in the canonical form (111). They give the same physical state in APBC, in other words,  $\{A^i\}_i \sim \{\tilde{A}^i\}_i$  holds if and only if there exist a unitary matrix  $V \in U(2n)$  and a  $U(1)$  phase  $e^{i\beta} \in U(1)$  obeying that

$$\tilde{A}^i = e^{i\beta} V^\dagger A^i V. \quad (112)$$

The unitary matrix  $V$  is unique up to  $U(1)$  phase, and  $e^{i\beta}$  is unique.

変換関数がZ/2-gradingを保つunitary変換のみであることを証明した。

不変量の具体的な計算法(解析的な方法) :

# fundamental thm. for Z/2-gr. CS MPS

**Theorem 3.** (fundamental theorem for fMPS with Wall invariant (+))

Let  $\{A^i\}_i$  and  $\{\tilde{A}^i\}_i$  be injective fMPSs with the Wall invariant (+) in the canonical form (111). They give the same physical state in APBC, in other words,  $\{A^i\}_i \sim \{\tilde{A}^i\}_i$  holds if and only if there exist a unitary matrix  $V \in U(2n)$  and a  $U(1)$  phase  $e^{i\beta} \in U(1)$  obeying that

$$\tilde{A}^i = e^{i\beta} V^\dagger A^i V. \quad (112)$$

The unitary matrix  $V$  is unique up to  $U(1)$  phase, and  $e^{i\beta}$  is unique.

変換関数がZ/2-gradingを保つunitary変換のみであることを証明した。

不変量の具体的な計算法(解析的な方法) :

①ゲージ変換で $\{A^i(\theta), u(\theta)\}$ を周期的にとる :  $\{\tilde{A}^i(0), \tilde{u}(0)\} = \{\tilde{A}^i(2\pi), \tilde{u}(2\pi)\},$

# fundamental thm. for Z/2-gr. CS MPS

**Theorem 3.** (fundamental theorem for fMPS with Wall invariant (+))

Let  $\{A^i\}_i$  and  $\{\tilde{A}^i\}_i$  be injective fMPSs with the Wall invariant (+) in the canonical form (111). They give the same physical state in APBC, in other words,  $\{A^i\}_i \sim \{\tilde{A}^i\}_i$  holds if and only if there exist a unitary matrix  $V \in U(2n)$  and a  $U(1)$  phase  $e^{i\beta} \in U(1)$  obeying that

$$\tilde{A}^i = e^{i\beta} V^\dagger A^i V. \quad (112)$$

The unitary matrix  $V$  is unique up to  $U(1)$  phase, and  $e^{i\beta}$  is unique.

変換関数がZ/2-gradingを保つunitary変換のみであることを証明した。

不変量の具体的な計算法(解析的な方法) :

- ① ゲージ変換で  $\{A^i(\theta), u(\theta)\}$  を周期的にとる :  $\{\tilde{A}^i(0), \tilde{u}(0)\} = \{\tilde{A}^i(2\pi), \tilde{u}(2\pi)\},$
- ②  $\text{tr}(\tilde{u}(\theta)^2)$  は周期的なので **巻きつき数は量子化** :  $n_{\text{top.}} = \int d\log(\text{tr}(\tilde{u}(\theta)^2)) \in \mathbb{Z}$

# fundamental thm. for Z/2-gr. CS MPS

**Theorem 3.** (fundamental theorem for fMPS with Wall invariant (+))

Let  $\{A^i\}_i$  and  $\{\tilde{A}^i\}_i$  be injective fMPSs with the Wall invariant (+) in the canonical form (111). They give the same physical state in APBC, in other words,  $\{A^i\}_i \sim \{\tilde{A}^i\}_i$  holds if and only if there exist a unitary matrix  $V \in U(2n)$  and a  $U(1)$  phase  $e^{i\beta} \in U(1)$  obeying that

$$\tilde{A}^i = e^{i\beta} V^\dagger A^i V. \quad (112)$$

The unitary matrix  $V$  is unique up to  $U(1)$  phase, and  $e^{i\beta}$  is unique.

変換関数がZ/2-gradingを保つunitary変換のみであることを証明した。

不変量の具体的な計算法(解析的な方法) :

- ① ゲージ変換で  $\{A^i(\theta), u(\theta)\}$  を周期的にとる :  $\{\tilde{A}^i(0), \tilde{u}(0)\} = \{\tilde{A}^i(2\pi), \tilde{u}(2\pi)\},$
- ②  $\text{tr}(\tilde{u}(\theta)^2)$  は周期的なので **巻きつき数は量子化** :  $n_{\text{top.}} = \int d\log(\text{tr}(\tilde{u}(\theta)^2)) \in \mathbb{Z}$
- ③  $\tilde{u}(\theta)$  は周期的な位相の付け替えで  $n_{\text{top.}}$  は **偶数だけシフト** :

# fundamental thm. for Z/2-gr. CS MPS

**Theorem 3.** (fundamental theorem for fMPS with Wall invariant (+))

Let  $\{A^i\}_i$  and  $\{\tilde{A}^i\}_i$  be injective fMPSs with the Wall invariant (+) in the canonical form (111). They give the same physical state in APBC, in other words,  $\{A^i\}_i \sim \{\tilde{A}^i\}_i$  holds if and only if there exist a unitary matrix  $V \in U(2n)$  and a  $U(1)$  phase  $e^{i\beta} \in U(1)$  obeying that

$$\tilde{A}^i = e^{i\beta} V^\dagger A^i V. \quad (112)$$

The unitary matrix  $V$  is unique up to  $U(1)$  phase, and  $e^{i\beta}$  is unique.

変換関数がZ/2-gradingを保つunitary変換のみであることを証明した。

不変量の具体的な計算法(解析的な方法) :

① ゲージ変換で  $\{A^i(\theta), u(\theta)\}$  を周期的にとる :  $\{\tilde{A}^i(0), \tilde{u}(0)\} = \{\tilde{A}^i(2\pi), \tilde{u}(2\pi)\}$ ,

②  $\text{tr}(\tilde{u}(\theta)^2)$  は周期的なので **巻きつき数は量子化** :  $n_{\text{top.}} = \int d\log(\text{tr}(\tilde{u}(\theta)^2)) \in \mathbb{Z}$

③  $\tilde{u}(\theta)$  は周期的な位相の付け替えで  $n_{\text{top.}}$  は **偶数だけシフト** :

例)  $\tilde{u}(\theta) \rightarrow e^{i\theta} \tilde{u}(\theta)$  に対して  $n_{\text{top.}} \mapsto n_{\text{top.}} + 2$ .

# fundamental thm. for Z/2-gr. CS MPS

**Theorem 3.** (fundamental theorem for fMPS with Wall invariant (+))

Let  $\{A^i\}_i$  and  $\{\tilde{A}^i\}_i$  be injective fMPSs with the Wall invariant (+) in the canonical form (111). They give the same physical state in APBC, in other words,  $\{A^i\}_i \sim \{\tilde{A}^i\}_i$  holds if and only if there exist a unitary matrix  $V \in U(2n)$  and a  $U(1)$  phase  $e^{i\beta} \in U(1)$  obeying that

$$\tilde{A}^i = e^{i\beta} V^\dagger A^i V. \quad (112)$$

The unitary matrix  $V$  is unique up to  $U(1)$  phase, and  $e^{i\beta}$  is unique.

変換関数がZ/2-gradingを保つunitary変換のみであることを証明した。

不変量の具体的な計算法(解析的な方法) :

①ゲージ変換で $\{A^i(\theta), u(\theta)\}$ を周期的にとる :  $\{\tilde{A}^i(0), \tilde{u}(0)\} = \{\tilde{A}^i(2\pi), \tilde{u}(2\pi)\}$ ,

②  $\text{tr}(\tilde{u}(\theta)^2)$  は周期的なので**巻きつき数は量子化** :  $n_{\text{top.}} = \int d\log(\text{tr}(\tilde{u}(\theta)^2)) \in \mathbb{Z}$

③  $\tilde{u}(\theta)$  は周期的な位相の付け替えで  $n_{\text{top.}}$  は**偶数だけシフト** :

例)  $\tilde{u}(\theta) \rightarrow e^{i\theta} \tilde{u}(\theta)$  に対して  $n_{\text{top.}} \mapsto n_{\text{top.}} + 2$ .

**Pump不変量** :  $n_{\text{top.}} = \int d\log(\text{tr}(\tilde{u}(\theta)^2)) \in \mathbb{Z}/2\mathbb{Z}$

# fundamental thm. for Z/2-gr. CS MPS

**Theorem 3.** (fundamental theorem for fMPS with Wall invariant (+))

Let  $\{A^i\}_i$  and  $\{\tilde{A}^i\}_i$  be injective fMPSs with the Wall invariant (+) in the canonical form (111). They give the same physical state in APBC, in other words,  $\{A^i\}_i \sim \{\tilde{A}^i\}_i$  holds if and only if there exist a unitary matrix  $V \in U(2n)$  and a  $U(1)$  phase  $e^{i\beta} \in U(1)$  obeying that

$$\tilde{A}^i = e^{i\beta} V^\dagger A^i V. \quad (112)$$

The unitary matrix  $V$  is unique up to  $U(1)$  phase, and  $e^{i\beta}$  is unique.

変換関数がZ/2-gradingを保つunitary変換のみであることを証明した。

不変量の具体的な計算法(解析的な方法) :

①ゲージ変換で $\{A^i(\theta), u(\theta)\}$ を周期的にとる :  $\{\tilde{A}^i(0), \tilde{u}(0)\} = \{\tilde{A}^i(2\pi), \tilde{u}(2\pi)\}$ ,

②  $\text{tr}(\tilde{u}(\theta)^2)$  は周期的なので**巻きつき数は量子化** :  $n_{\text{top.}} = \int d\log(\text{tr}(\tilde{u}(\theta)^2)) \in \mathbb{Z}$

③  $\tilde{u}(\theta)$  は周期的な位相の付け替えで  $n_{\text{top.}}$  は**偶数だけシフト** :

例)  $\tilde{u}(\theta) \rightarrow e^{i\theta} \tilde{u}(\theta)$  に対して  $n_{\text{top.}} \mapsto n_{\text{top.}} + 2$ .

**Pump不変量** :  $n_{\text{top.}} = \int d\log(\text{tr}(\tilde{u}(\theta)^2)) \in \mathbb{Z}/2\mathbb{Z}$

# fundamental thm. for Z/2-gr. CS MPS

不変量の具体的な計算法(代数的な方法) :

- ①  $X$  の開被覆  $\{U_\alpha\}$  を取り, 各  $U_\alpha$  上のfMPS表示  $\{A_\alpha^i, u_\alpha\}$  を取る.
- ②  $u_\alpha(\theta)$  の位相を取り替えて,  $u_\alpha(\theta)^2 = 1$  を満たすようにとる.
- ③  $U_\alpha$  と  $U_\beta$  の共通部分において fundamental theorem を用いる :

$$A_\alpha^i(\theta) = e^{i\phi_{\alpha,\beta}} V_{\alpha,\beta}(\theta) A_\beta^i(\theta) V_{\alpha,\beta}(\theta)^\dagger$$

- ④  $u_\alpha(\theta)^2 = u_\beta(\theta)^2 = 1$  を満たすように取った時,  $V_{\alpha,\beta}(\theta)$  は以下を満たす :

$$u_\alpha(\theta) V_{\alpha,\beta}(\theta) = \eta_{\alpha,\beta} V_{\alpha,\beta}(\theta) u_\beta(\theta) \quad (\eta_{\alpha,\beta} = \pm 1)$$

Pump不変量 :  $\eta_{\text{top.}} = \prod \eta_{\alpha,\beta} \in \{\pm 1\}$  ( $[\eta_{\alpha,\beta}] \in H^1(X; \mathbb{Z}/2\mathbb{Z})$ )

特に二つの不変量は等価で, 一般に  $\eta_{\text{top.}} = (-1)^{n_{\text{top.}}}$  という関係にある

# fundamental thm. for Z/2-gr. CS MPS

不变量の具体的な計算法(代数的な方法)：

- ①  $X$  の開板覆  $\{U_\alpha\}$  を取り, 各  $U_\alpha$  上の fMPS 表示  $\{A_\alpha^i, u_\alpha\}$  を取る.
- ②  $u_\alpha(\theta)$  の位相を取り替えて,  $u_\alpha(\theta)^2 = 1$  を満たすようにとる.
- ③  $U_\alpha$  と  $U_\beta$  の共通部分において fundamental theorem を用いる :

$$A_\alpha^i(\theta) = e^{i\phi_{\alpha,\beta}(\theta)} V_{\alpha,\beta}(\theta) V_{\alpha,\beta}(\theta)^\dagger$$

- ④  $u_\alpha(\theta)^2 = u_\beta(\theta)^2 = 1$  を満たす時,  $V_{\alpha,\beta}(\theta)$  は以下を満たす :

$$u_\alpha(\theta) V_{\alpha,\beta}(\theta) = \eta_{\alpha,\beta} V_{\alpha,\beta}(\theta) u_\beta(\theta) \quad (\eta_{\alpha,\beta} = \pm 1)$$

Pimp 不変量 :  $\eta_{\text{top.}} = \prod \eta_{\alpha,\beta} \in \{\pm 1\}$  ( $[\eta_{\alpha,\beta}] \in H^1(X; \mathbb{Z}/2\mathbb{Z})$ )

特に二つの不变量は等価で, 一般に  $\eta_{\text{top.}} = (-1)^{n_{\text{top.}}}$  という関係にある  $10/92$

# 目次

- **研究の背景**

SRE状態とGTPについて

- **研究の目的と方法**

MPSを用いたinteracting fermionic systemにおけるGTPの検証

- **結果 1 : Pump不変量の定義**

fundamental theorem for fMPS

Pump不変量の定義

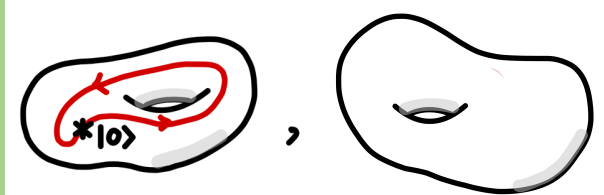
- **結果 2 : Pump不変量の計算**

non-trivial phaseにおけるpump

trivial phaseにおけるpump

- **まとめ**

# Pump不变量の計算例①

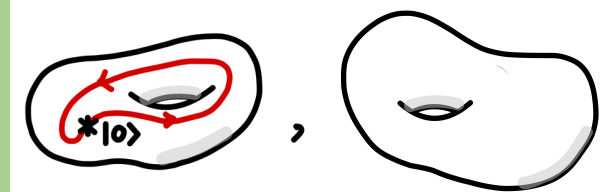


例) ガチャガチャ模型

$$H(\theta) = - \sum_j (a_j^\dagger - a_j) \tau_{j+\frac{1}{2}}^x (a_{j+1}^\dagger + a_{j+1}) - \sum_j \tau_{j-\frac{1}{2}}^{z,\theta} (1 - 2a_j^\dagger a_j) \tau_{j+\frac{1}{2}}^{z,\theta}$$

ただし  $\tau_j^{z,\theta} = e^{i\frac{\theta}{2}\tau_j^x} \tau_j^z e^{-i\frac{\theta}{2}\tau_j^x}$ . このとき  $H(0) = H(\pi)$ .

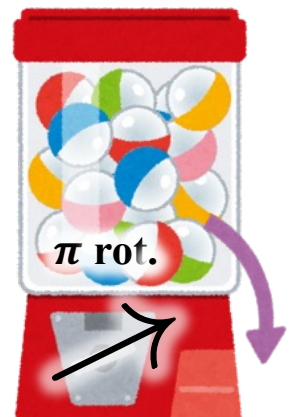
# Pump不变量の計算例①



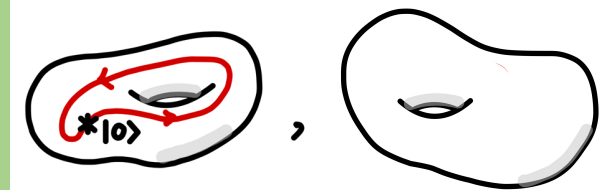
例) ガチャガチャ模型

$$H(\theta) = - \sum_j (a_j^\dagger - a_j) \tau_{j+\frac{1}{2}}^x (a_{j+1}^\dagger + a_{j+1}) - \sum_j \tau_{j-\frac{1}{2}}^{z,\theta} (1 - 2a_j^\dagger a_j) \tau_{j+\frac{1}{2}}^{z,\theta}$$

ただし  $\tau_j^{z,\theta} = e^{i\frac{\theta}{2}\tau_j^x} \tau_j^z e^{-i\frac{\theta}{2}\tau_j^x}$ . このとき  $H(0) = H(\pi)$ .



# Pump不变量の計算例①



例) ガチャガチャ模型

$$H(\theta) = - \sum_j (a_j^\dagger - a_j) \tau_{j+\frac{1}{2}}^x (a_{j+1}^\dagger + a_{j+1}) - \sum_j \tau_{j-\frac{1}{2}}^{z,\theta} (1 - 2a_j^\dagger a_j) \tau_{j+\frac{1}{2}}^{z,\theta}$$

ただし  $\tau_j^{z,\theta} = e^{i\frac{\theta}{2}\tau_j^x} \tau_j^z e^{-i\frac{\theta}{2}\tau_j^x}$ . このとき  $H(0) = H(\pi)$ .

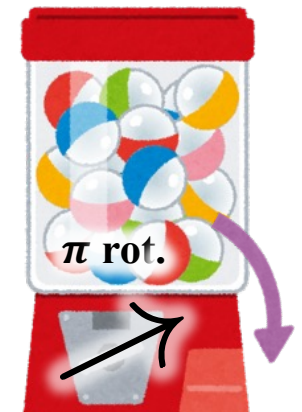
この模型は自明相に属することが確認できる。

対応する周期的なfMPSは

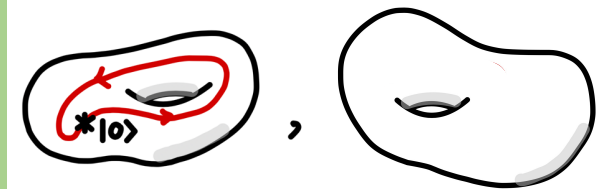
$$C^{\uparrow,\circ}(\theta) = \begin{pmatrix} \cos(\frac{\theta}{2}) & \\ & i \sin(\frac{\theta}{2}) \end{pmatrix}, C^{\downarrow,\circ}(\theta) = \begin{pmatrix} i \sin(\frac{\theta}{2}) & \\ & \cos(\frac{\theta}{2}) \end{pmatrix}, \quad u(\theta) = \begin{pmatrix} 1 & \\ & -1 \end{pmatrix}$$

$$C^{\uparrow,\bullet}(\theta) = \begin{pmatrix} & \cos(\frac{\theta}{2}) \\ i \sin(\frac{\theta}{2}) & \end{pmatrix}, C^{\downarrow,\bullet}(\theta) = \begin{pmatrix} & i \sin(\frac{\theta}{2}) \\ \cos(\frac{\theta}{2}) & \end{pmatrix}.$$

を用いて  $\tilde{C}^{i,j}(\theta) = e^{-i\frac{\theta}{2}} e^{i\frac{\theta}{2}\sigma_x} C^{i,j}(\theta) e^{-i\frac{\theta}{2}\sigma_x}$ ,  $\tilde{u}(\theta) = e^{-i\frac{\theta}{2}} e^{i\frac{\theta}{2}\sigma_x} u(\theta) e^{-i\frac{\theta}{2}\sigma_x}$  で与えられる。



# Pump不变量の計算例①



例) ガチャガチャ模型

$$H(\theta) = - \sum_j (a_j^\dagger - a_j) \tau_{j+\frac{1}{2}}^x (a_{j+1}^\dagger + a_{j+1}) - \sum_j \tau_{j-\frac{1}{2}}^{z,\theta} (1 - 2a_j^\dagger a_j) \tau_{j+\frac{1}{2}}^{z,\theta}$$

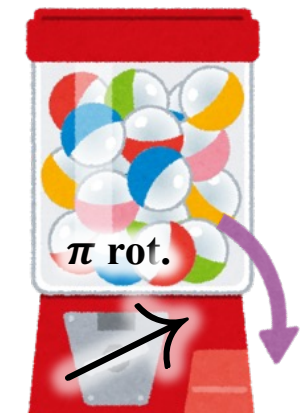
ただし  $\tau_j^{z,\theta} = e^{i\frac{\theta}{2}\tau_j^x} \tau_j^z e^{-i\frac{\theta}{2}\tau_j^x}$ . このとき  $H(0) = H(\pi)$ .

この模型は自明相に属することが確認できる。

対応する周期的なfMPSは

$$C^{\uparrow,\circ}(\theta) = \begin{pmatrix} \cos(\frac{\theta}{2}) & \\ & i \sin(\frac{\theta}{2}) \end{pmatrix}, C^{\downarrow,\circ}(\theta) = \begin{pmatrix} i \sin(\frac{\theta}{2}) & \\ & \cos(\frac{\theta}{2}) \end{pmatrix}, \quad u(\theta) = \begin{pmatrix} 1 & \\ & -1 \end{pmatrix}$$

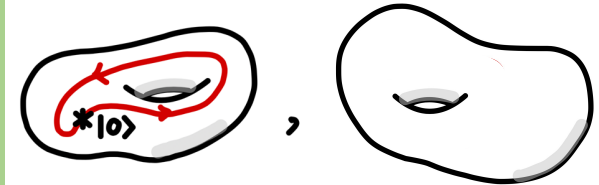
$$C^{\uparrow,\bullet}(\theta) = \begin{pmatrix} & \cos(\frac{\theta}{2}) \\ i \sin(\frac{\theta}{2}) & \end{pmatrix}, C^{\downarrow,\bullet}(\theta) = \begin{pmatrix} & i \sin(\frac{\theta}{2}) \\ \cos(\frac{\theta}{2}) & \end{pmatrix}.$$



を用いて  $\tilde{C}^{i,j}(\theta) = e^{-i\frac{\theta}{2}} e^{i\frac{\theta}{2}\sigma_x} C^{i,j}(\theta) e^{-i\frac{\theta}{2}\sigma_x}$ ,  $\tilde{u}(\theta) = e^{-i\frac{\theta}{2}} e^{i\frac{\theta}{2}\sigma_x} u(\theta) e^{-i\frac{\theta}{2}\sigma_x}$  で与えられる。

$\text{tr}(\tilde{u}(\theta)^2) = -2e^{i\theta}$  なので,  $n_{\text{top.}} = 1 \in \mathbb{Z}/2\mathbb{Z}$  より **pump不变量は非自明**.

# Pump不变量の計算例①



例) ガチャガチャ模型

$$H(\theta) = - \sum_j (a_j^\dagger - a_j) \tau_{j+\frac{1}{2}}^x (a_{j+1}^\dagger + a_{j+1}) - \sum_j \tau_{j-\frac{1}{2}}^{z,\theta} (1 - 2a_j^\dagger a_j) \tau_{j+\frac{1}{2}}^{z,\theta}$$

ただし  $\tau_j^{z,\theta} = e^{i\frac{\theta}{2}\tau_j^x} \tau_j^z e^{-i\frac{\theta}{2}\tau_j^x}$ . このとき  $H(0) = H(\pi)$ .

この模型は自明相に属することが確認できる。

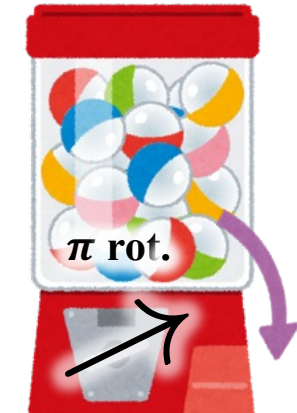
対応する周期的なfMPSは

$$C^{\uparrow,\circ}(\theta) = \begin{pmatrix} \cos(\frac{\theta}{2}) & \\ & i \sin(\frac{\theta}{2}) \end{pmatrix}, C^{\downarrow,\circ}(\theta) = \begin{pmatrix} i \sin(\frac{\theta}{2}) & \\ & \cos(\frac{\theta}{2}) \end{pmatrix}, \quad u(\theta) = \begin{pmatrix} 1 & \\ & -1 \end{pmatrix}$$

$$C^{\uparrow,\bullet}(\theta) = \begin{pmatrix} & \cos(\frac{\theta}{2}) \\ i \sin(\frac{\theta}{2}) & \end{pmatrix}, C^{\downarrow,\bullet}(\theta) = \begin{pmatrix} & i \sin(\frac{\theta}{2}) \\ \cos(\frac{\theta}{2}) & \end{pmatrix}.$$

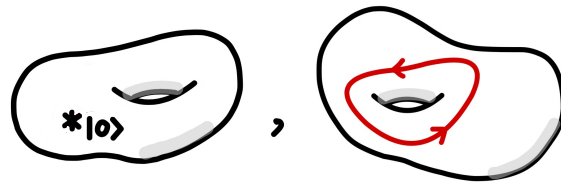
を用いて  $\tilde{C}^{i,j}(\theta) = e^{-i\frac{\theta}{2}} e^{i\frac{\theta}{2}\sigma_x} C^{i,j}(\theta) e^{-i\frac{\theta}{2}\sigma_x}$ ,  $\tilde{u}(\theta) = e^{-i\frac{\theta}{2}} e^{i\frac{\theta}{2}\sigma_x} u(\theta) e^{-i\frac{\theta}{2}\sigma_x}$  で与えられる。

$\text{tr}(\tilde{u}(\theta)^2) = -2e^{i\theta}$  なので,  $n_{\text{top.}} = 1 \in \mathbb{Z}/2\mathbb{Z}$  より **pump不变量は非自明**.



interacting fermionic SPTの自明相におけるpumpを確認した。

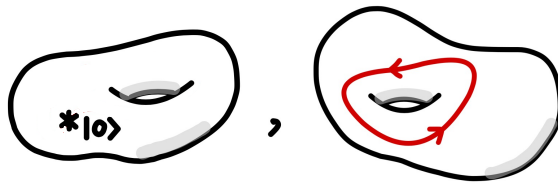
# Pump不变量の計算例②



例) 非自明相のKitaev chain with parameter  $\theta$

$$H(\theta) = \sum_j -a_{j+1}^\dagger a_{j+1} - a_{j+1}^\dagger a_j + e^{i\theta} a_j^\dagger a_{j+1}^\dagger + e^{-i\theta} a_{j+1} a_j$$

# Pump不变量の計算例②



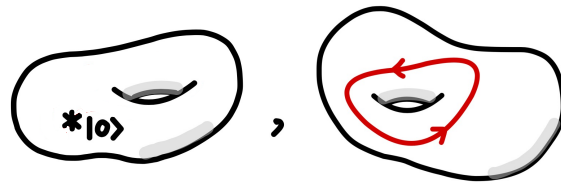
例) 非自明相のKitaev chain with parameter  $\theta$

$$H(\theta) = \sum_j -a_{j+1}^\dagger a_{j+1} - a_{j+1}^\dagger a_j + e^{i\theta} a_j^\dagger a_{j+1}^\dagger + e^{-i\theta} a_{j+1} a_j$$

$$\rightarrow A^0(\theta) = \begin{pmatrix} 1 & \\ & 1 \end{pmatrix}, \quad A^1(\theta) = e^{i\frac{\theta}{2}} \begin{pmatrix} & -1 \\ 1 & \end{pmatrix}, \quad u(\theta) = e^{i\frac{\theta}{2}} \begin{pmatrix} & -1 \\ 1 & \end{pmatrix}$$

$$\rightarrow \tilde{A}^0(\theta) = \begin{pmatrix} 1 & \\ & 1 \end{pmatrix}, \quad \tilde{A}^1(\theta) = \begin{pmatrix} & -1 \\ e^{i\theta} & \end{pmatrix}, \quad \tilde{u}(\theta) = \begin{pmatrix} & -1 \\ e^{i\theta} & \end{pmatrix}$$

# Pump不变量の計算例②



例) 非自明相のKitaev chain with parameter  $\theta$

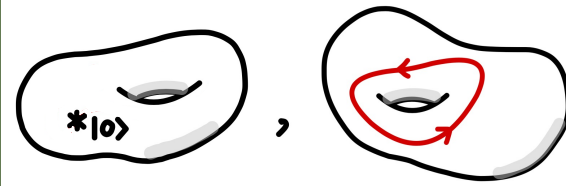
$$H(\theta) = \sum_j -a_{j+1}^\dagger a_{j+1} - a_{j+1}^\dagger a_j + e^{i\theta} a_j^\dagger a_{j+1}^\dagger + e^{-i\theta} a_{j+1} a_j$$

$$\rightarrow A^0(\theta) = \begin{pmatrix} 1 & \\ & 1 \end{pmatrix}, \quad A^1(\theta) = e^{i\frac{\theta}{2}} \begin{pmatrix} & -1 \\ 1 & \end{pmatrix}, \quad u(\theta) = e^{i\frac{\theta}{2}} \begin{pmatrix} & -1 \\ 1 & \end{pmatrix}$$

$$\rightarrow \tilde{A}^0(\theta) = \begin{pmatrix} 1 & \\ & 1 \end{pmatrix}, \quad \tilde{A}^1(\theta) = \begin{pmatrix} & -1 \\ e^{i\theta} & \end{pmatrix}, \quad \tilde{u}(\theta) = \begin{pmatrix} & -1 \\ e^{i\theta} & \end{pmatrix}$$

$\text{tr}(\tilde{u}(\theta)^2) = -2e^{i\theta}$  なので,  $n_{\text{top.}} = 1 \in \mathbb{Z}/2\mathbb{Z}$  より **pump不变量は非自明.**

# Pump不变量の計算例②



例) 非自明相のKitaev chain with parameter  $\theta$

$$H(\theta) = \sum_j -a_{j+1}^\dagger a_{j+1} - a_{j+1}^\dagger a_j + e^{i\theta} a_j^\dagger a_{j+1}^\dagger + e^{-i\theta} a_{j+1} a_j$$

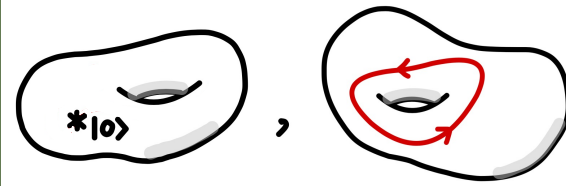
$$\rightarrow A^0(\theta) = \begin{pmatrix} 1 & \\ & 1 \end{pmatrix}, \quad A^1(\theta) = e^{i\frac{\theta}{2}} \begin{pmatrix} & -1 \\ 1 & \end{pmatrix}, \quad u(\theta) = e^{i\frac{\theta}{2}} \begin{pmatrix} & -1 \\ 1 & \end{pmatrix}$$

$$\rightarrow \tilde{A}^0(\theta) = \begin{pmatrix} 1 & \\ & 1 \end{pmatrix}, \quad \tilde{A}^1(\theta) = \begin{pmatrix} & -1 \\ e^{i\theta} & \end{pmatrix}, \quad \tilde{u}(\theta) = \begin{pmatrix} & -1 \\ e^{i\theta} & \end{pmatrix}$$

$\text{tr}(\tilde{u}(\theta)^2) = -2e^{i\theta}$  なので,  $n_{\text{top.}} = 1 \in \mathbb{Z}/2\mathbb{Z}$  より **pump不变量は非自明.**

Kitaev chainのgap関数の位相を回すことでf.p.がpumpされることと、  
**free fermionの範囲で知られている.** [Kitaev,Teo-Kane]

# Pump不变量の計算例②



例) 非自明相のKitaev chain with parameter  $\theta$

$$H(\theta) = \sum_j -a_{j+1}^\dagger a_{j+1} - a_{j+1}^\dagger a_j + e^{i\theta} a_j^\dagger a_{j+1}^\dagger + e^{-i\theta} a_{j+1} a_j$$

$$\rightarrow A^0(\theta) = \begin{pmatrix} 1 & \\ & 1 \end{pmatrix}, \quad A^1(\theta) = e^{i\frac{\theta}{2}} \begin{pmatrix} & -1 \\ 1 & \end{pmatrix}, \quad u(\theta) = e^{i\frac{\theta}{2}} \begin{pmatrix} & -1 \\ 1 & \end{pmatrix}$$

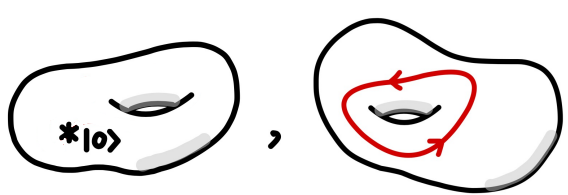
$$\rightarrow \tilde{A}^0(\theta) = \begin{pmatrix} 1 & \\ & 1 \end{pmatrix}, \quad \tilde{A}^1(\theta) = \begin{pmatrix} & -1 \\ e^{i\theta} & \end{pmatrix}, \quad \tilde{u}(\theta) = \begin{pmatrix} & -1 \\ e^{i\theta} & \end{pmatrix}$$

$\text{tr}(\tilde{u}(\theta)^2) = -2e^{i\theta}$  なので,  $n_{\text{top.}} = 1 \in \mathbb{Z}/2\mathbb{Z}$  より **pump不变量は非自明.**

Kitaev chainのgap関数の位相を回すことでf.p.がpumpされることと、  
**free fermionの範囲で知られている.** [Kitaev,Teo-Kane]

我々の結果はこのpumpが**相互作用に対して安定**であることを意味している。

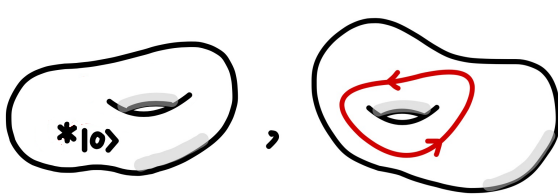
# Pump不变量の計算例③



例) 非自明相のinteracting Kitaev chain with parameter  $\theta$  [Katsura et.al.]

$$H(\theta) = \sum_j -ta_j^\dagger a_j - ta_{j+1}^\dagger a_j + |\Delta| e^{i\theta} a_j a_{j+1} + |\Delta| e^{-i\theta} a_{j+1}^\dagger a_j^\dagger - \frac{\mu}{2}(2a_j^\dagger a_j - 1) + U(2a_j^\dagger a_j - 1)(2a_{j+1}^\dagger a_{j+1} - 1)$$

# Pump不变量の計算例③

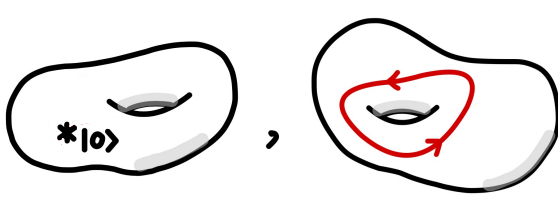


例) 非自明相のinteracting Kitaev chain with parameter  $\theta$  [Katsura et.al.]

$$H(\theta) = \sum_j -ta_j^\dagger a_j - ta_{j+1}^\dagger a_j + |\Delta| e^{i\theta} a_j a_{j+1} + |\Delta| e^{-i\theta} a_{j+1}^\dagger a_j^\dagger \\ - \frac{\mu}{2}(2a_j^\dagger a_j - 1) + U(2a_j^\dagger a_j - 1)(2a_{j+1}^\dagger a_{j+1} - 1)$$

特に  $\mu = 4\sqrt{U^2 + tU + \frac{t^2 - |\Delta|}{4}}$  のところではG.S.が求まる.

# Pump不变量の計算例③



例) 非自明相のinteracting Kitaev chain with parameter  $\theta$  [Katsura et.al.]

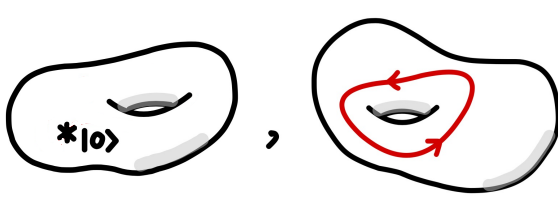
$$H(\theta) = \sum_j -ta_j^\dagger a_j - ta_{j+1}^\dagger a_j + |\Delta| e^{i\theta} a_j a_{j+1} + |\Delta| e^{-i\theta} a_{j+1}^\dagger a_j^\dagger \\ - \frac{\mu}{2}(2a_j^\dagger a_j - 1) + U(2a_j^\dagger a_j - 1)(2a_{j+1}^\dagger a_{j+1} - 1)$$

特に  $\mu = 4\sqrt{U^2 + tU + \frac{t^2 - |\Delta|}{4}}$  のところではG.S.が求まる.

このとき周期的なfMPSは以下で与えられる :

$$\tilde{A}^0(\theta) = \begin{pmatrix} 1 & \\ & 1 \end{pmatrix}, \quad \tilde{A}^1(\theta) = \lambda(|\Delta|, \mu) \begin{pmatrix} & -1 \\ e^{i\theta} & \end{pmatrix}, \quad \tilde{u}(\theta) = \begin{pmatrix} & -1 \\ e^{i\theta} & \end{pmatrix}$$

# Pump不变量の計算例③



例) 非自明相のinteracting Kitaev chain with parameter  $\theta$  [Katsura et.al.]

$$H(\theta) = \sum_j -ta_j^\dagger a_j - ta_{j+1}^\dagger a_j + |\Delta| e^{i\theta} a_j a_{j+1} + |\Delta| e^{-i\theta} a_{j+1}^\dagger a_j^\dagger \\ - \frac{\mu}{2}(2a_j^\dagger a_j - 1) + U(2a_j^\dagger a_j - 1)(2a_{j+1}^\dagger a_{j+1} - 1)$$

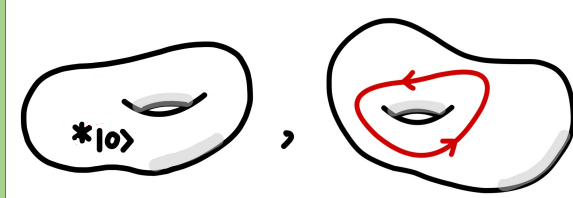
特に  $\mu = 4\sqrt{U^2 + tU + \frac{t^2 - |\Delta|}{4}}$  のところではG.S.が求まる.

このとき周期的なfMPSは以下で与えられる :

$$\tilde{A}^0(\theta) = \begin{pmatrix} 1 & \\ & 1 \end{pmatrix}, \quad \tilde{A}^1(\theta) = \lambda(|\Delta|, \mu) \begin{pmatrix} & -1 \\ e^{i\theta} & \end{pmatrix}, \quad \tilde{u}(\theta) = \begin{pmatrix} & -1 \\ e^{i\theta} & \end{pmatrix}$$

従ってfreeの場合と同様に,  $n_{\text{top.}} = 1 \in \mathbb{Z}/2\mathbb{Z}$  より **pump不变量は非自明**.

# Pump不变量の計算例③



例) 非自明相のinteracting Kitaev chain with parameter  $\theta$  [Katsura et.al.]

$$H(\theta) = \sum_j -ta_j^\dagger a_j - ta_{j+1}^\dagger a_j + |\Delta| e^{i\theta} a_j a_{j+1} + |\Delta| e^{-i\theta} a_{j+1}^\dagger a_j^\dagger \\ - \frac{\mu}{2}(2a_j^\dagger a_j - 1) + U(2a_j^\dagger a_j - 1)(2a_{j+1}^\dagger a_{j+1} - 1)$$

特に  $\mu = 4\sqrt{U^2 + tU + \frac{t^2 - |\Delta|}{4}}$  のところではG.S.が求まる.

このとき周期的なfMPSは以下で与えられる :

$$\tilde{A}^0(\theta) = \begin{pmatrix} 1 & \\ & 1 \end{pmatrix}, \quad \tilde{A}^1(\theta) = \lambda(|\Delta|, \mu) \begin{pmatrix} & -1 \\ e^{i\theta} & \end{pmatrix}, \quad \tilde{u}(\theta) = \begin{pmatrix} & -1 \\ e^{i\theta} & \end{pmatrix}$$

従ってfreeの場合と同様に,  $n_{\text{top.}} = 1 \in \mathbb{Z}/2\mathbb{Z}$  より **pump不变量は非自明**.

interacting fermionic SPTの**非自明相におけるpump**を確認した.

# Appendix

1-parameter familyとpump

# periodic Kitaev chain

- periodic Kitaev chain(時空1+1次元の超伝導の模型)

$$H = \sum_j -a_{j+1}^\dagger a_{j+1} - a_{j+1}^\dagger a_j + a_j^\dagger a_{j+1}^\dagger + a_{j+1} a_j \quad (\text{a}_j : \text{complex fermion})$$

hopping                                      gap 関数

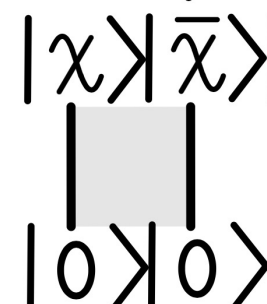
$H$  は **gapped**かつ **unique**な基底状態を持つ。

- 任意の **d** 次元の閉多様体の上で **gapped**かつ **unique**な基底状態として得られる状態を時空 **d+1** 次元 **Short-Range Entangled (SRE)** 状態と呼ぶ。

SRE状態は tensor積に対する逆元が存在する：

$$|\chi\rangle \otimes |\bar{\chi}\rangle \sim |0\rangle \otimes |0\rangle$$

ここで“~”は gap を保った連続変形。



# 自明相におけるGTP : Kitaevの予想

$d+1$ 次元の自明相におけるGTPを構成する:

# 自明相におけるGTP : Kitaevの予想

d+1次元の自明相におけるGTPを構成する:

d次元自明状態

$$|0\rangle_d$$

# 自明相におけるGTP : Kitaevの予想

$d+1$ 次元の自明相におけるGTPを構成する:

$$\underbrace{|0\rangle_d|0\rangle_d|0\rangle_d\cdots|0\rangle_d|0\rangle_d|0\rangle_d|0\rangle_d}_{\text{d+1次元目方向}} = |0\rangle_{d+1}$$

# 自明相におけるGTP : Kitaevの予想

$d+1$ 次元の自明相におけるGTPを構成する:

$$\frac{|\underbrace{0\rangle_d 0\rangle_d 0\rangle_d 0\rangle_d \cdots 0\rangle_d 0\rangle_d 0\rangle_d 0\rangle_d|}{\xrightarrow{\text{d+1次元目方向}}} = |\underbrace{0}_{d+1}\rangle$$

自明相  $\mathcal{M}^{d+1}$

# 自明相におけるGTP : Kitaevの予想

$d+1$ 次元の自明相におけるGTPを構成する:

$d$ 次元SRE状態

$$|\chi\rangle_d$$

$$\frac{|\underbrace{0\rangle_d 0\rangle_d 0\rangle_d \cdots 0\rangle_d}_{\text{d+1次元目方向}} 0\rangle_d 0\rangle_d}{\rightarrow} = |\underbrace{0\rangle_{d+1}}_{\text{自明相 } \mathcal{M}^{d+1}}$$

# 自明相におけるGTP : Kitaevの予想

$d+1$ 次元の自明相におけるGTPを構成する:

$d$ 次元SRE状態

$$|\chi\rangle_d$$

$$|0\rangle_d |0\rangle_d |0\rangle_d |0\rangle_d \cdots |0\rangle_d |0\rangle_d |0\rangle_d |0\rangle_d = |0\rangle_{d+1}$$

$d+1$ 次元目方向

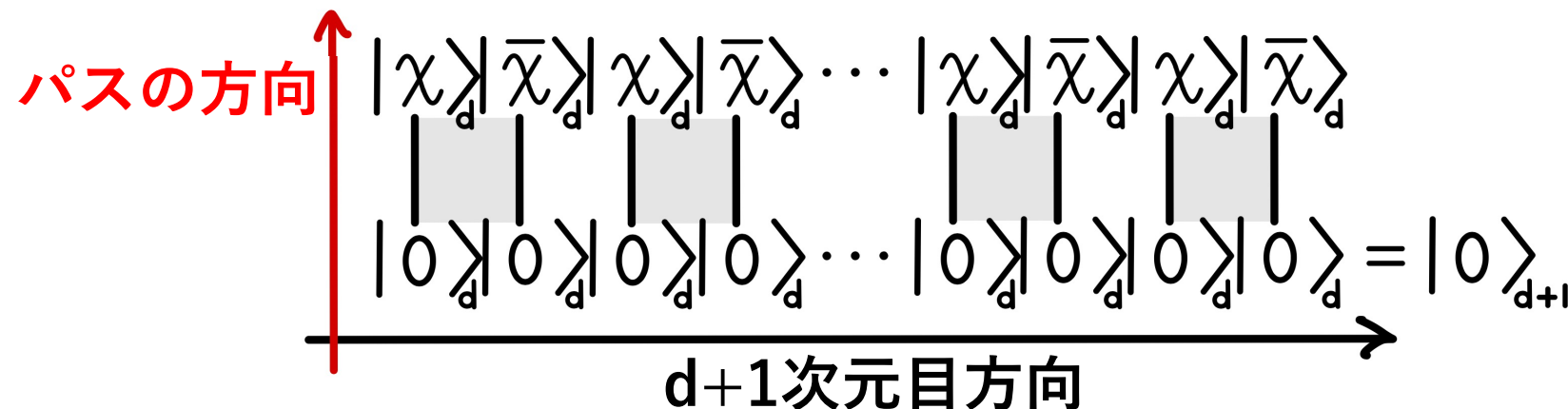


# 自明相におけるGTP : Kitaevの予想

$d+1$ 次元の自明相におけるGTPを構成する:

$d$ 次元SRE状態

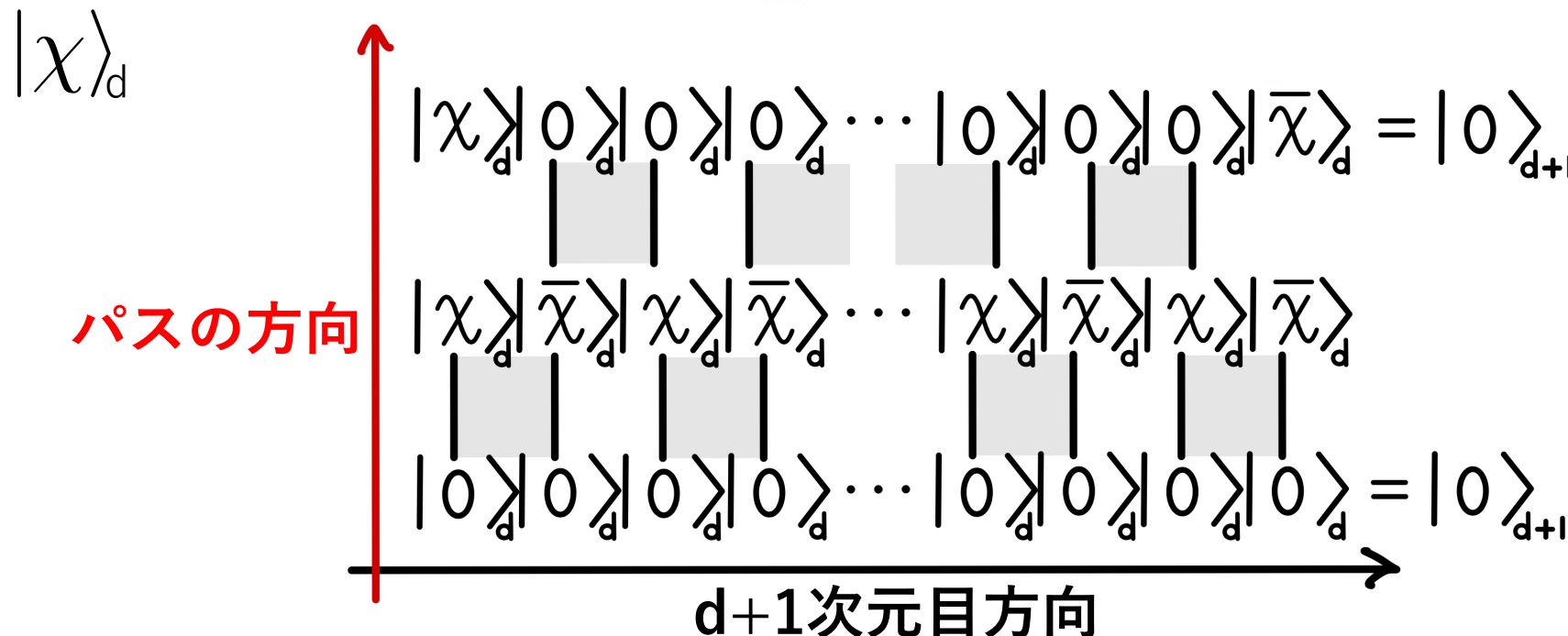
$$|\chi\rangle_d$$



# 自明相におけるGTP : Kitaevの予想

$d+1$ 次元の自明相におけるGTPを構成する:

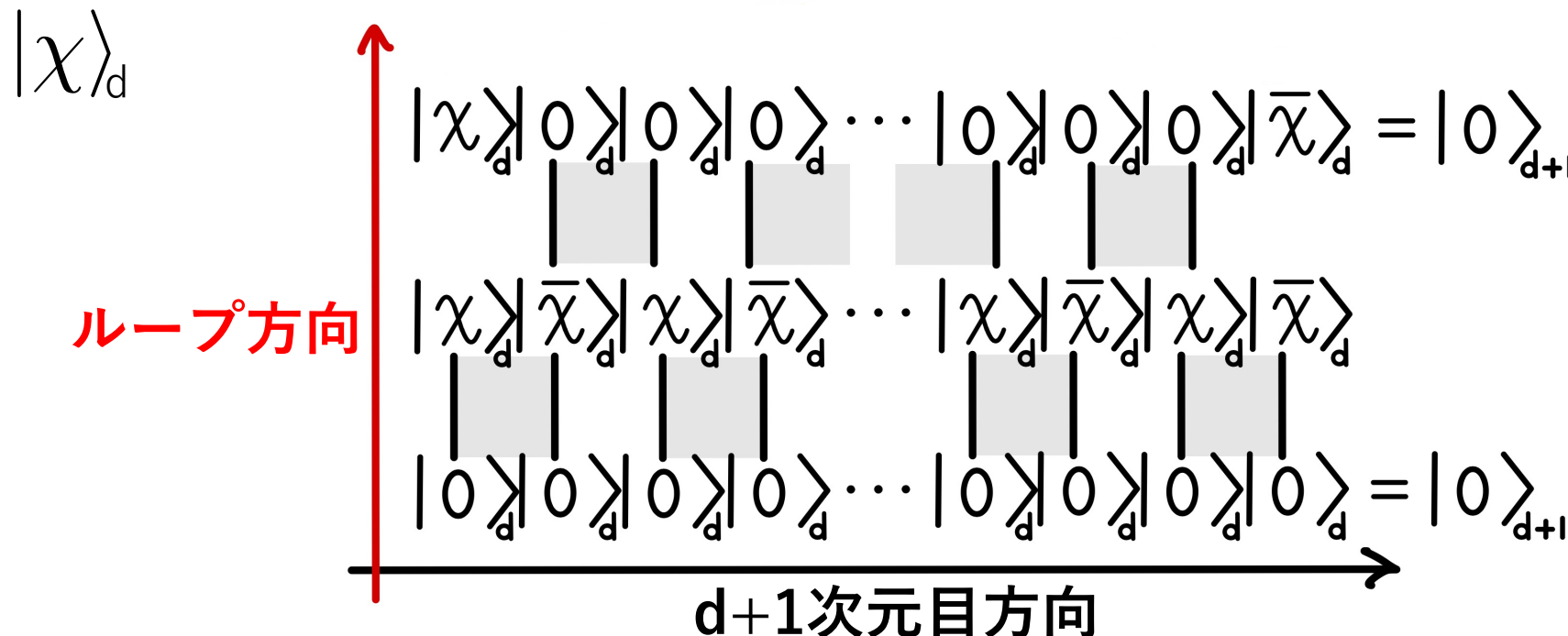
$d$ 次元SRE状態



# 自明相におけるGTP : Kitaevの予想

$d+1$ 次元の自明相におけるGTPを構成する:

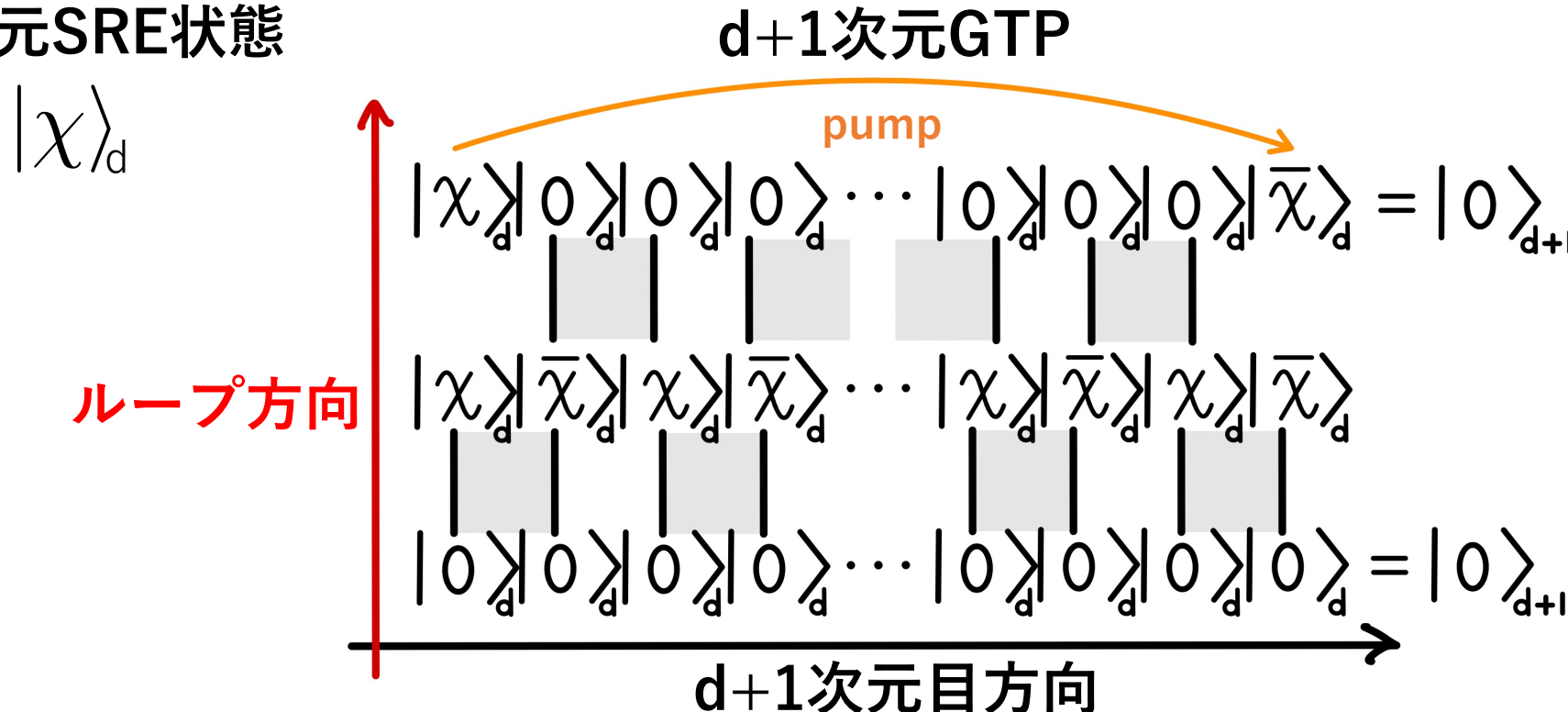
$d$ 次元SRE状態



# 自明相におけるGTP : Kitaevの予想

$d+1$ 次元の自明相におけるGTPを構成する:

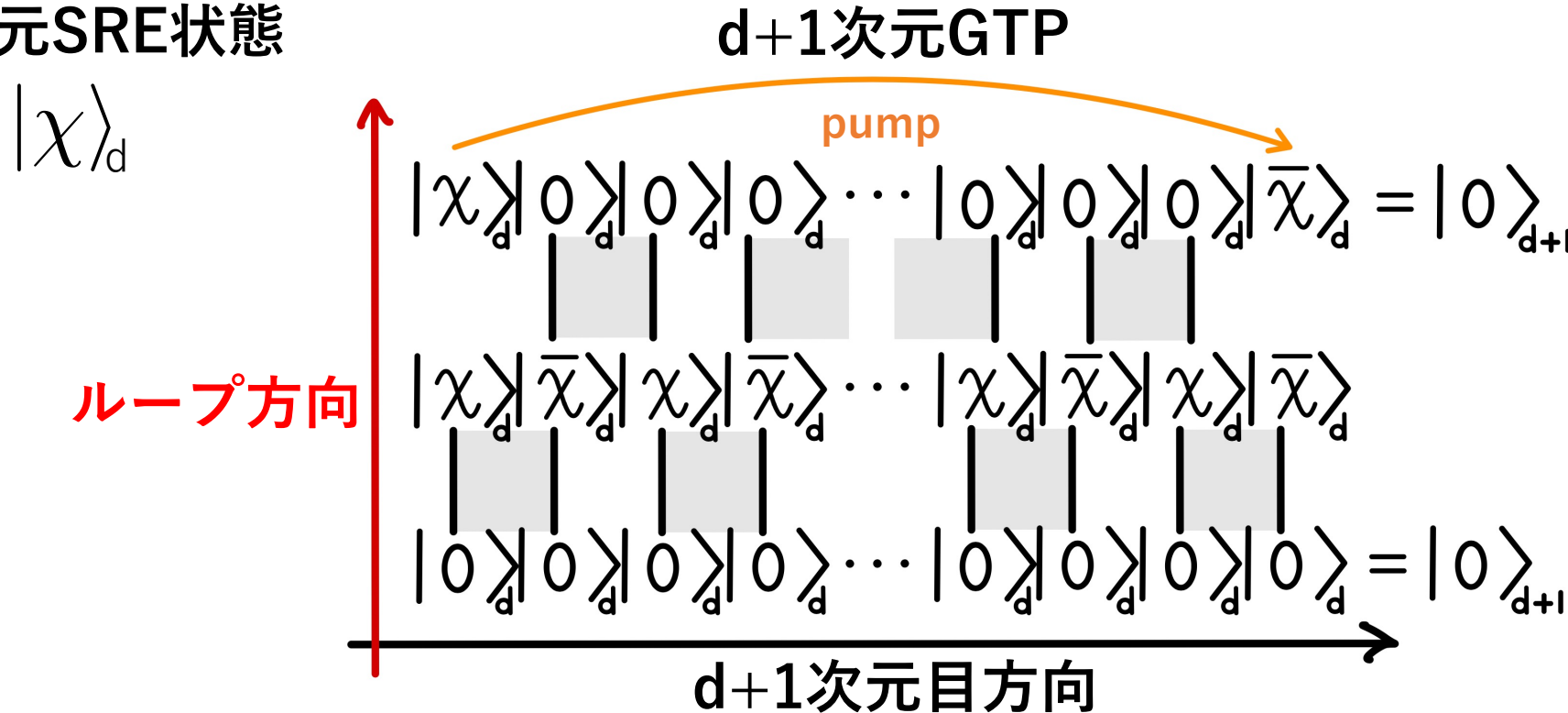
$d$ 次元SRE状態



# 自明相におけるGTP : Kitaevの予想

$d+1$ 次元の自明相におけるGTPを構成する:

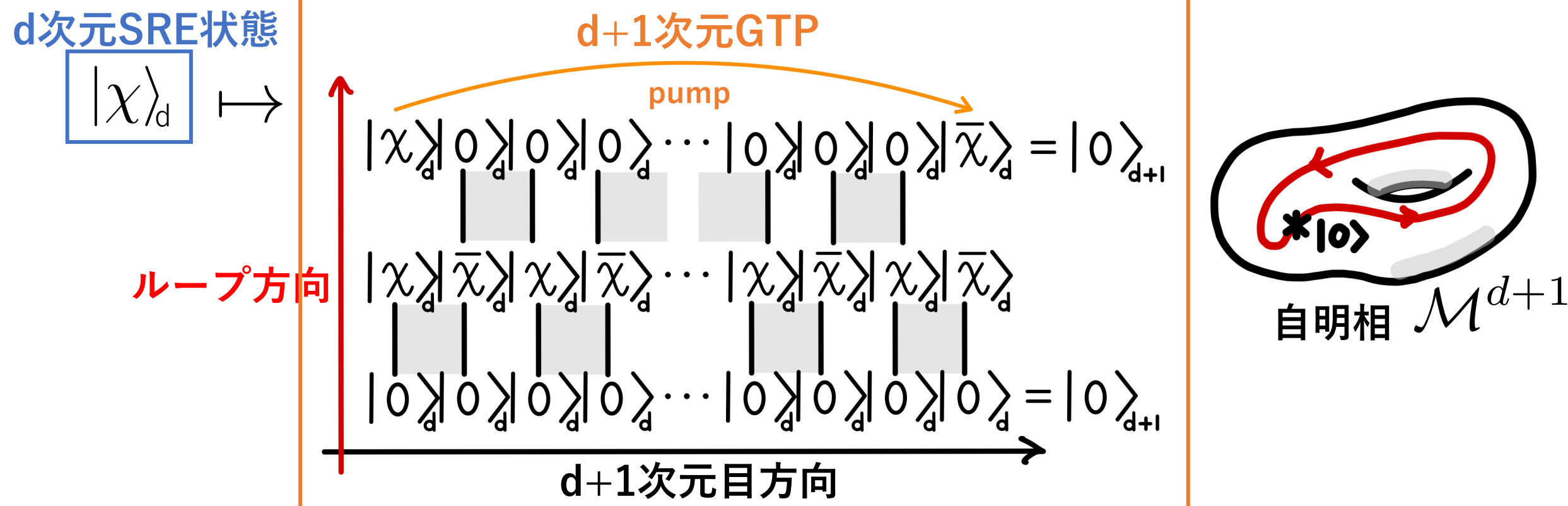
$d$ 次元SRE状態



要点①  $\mathcal{M}^{d+1}$  のループは  $d+1$  次元の GTP を与える.

# 自明相におけるGTP : Kitaevの予想

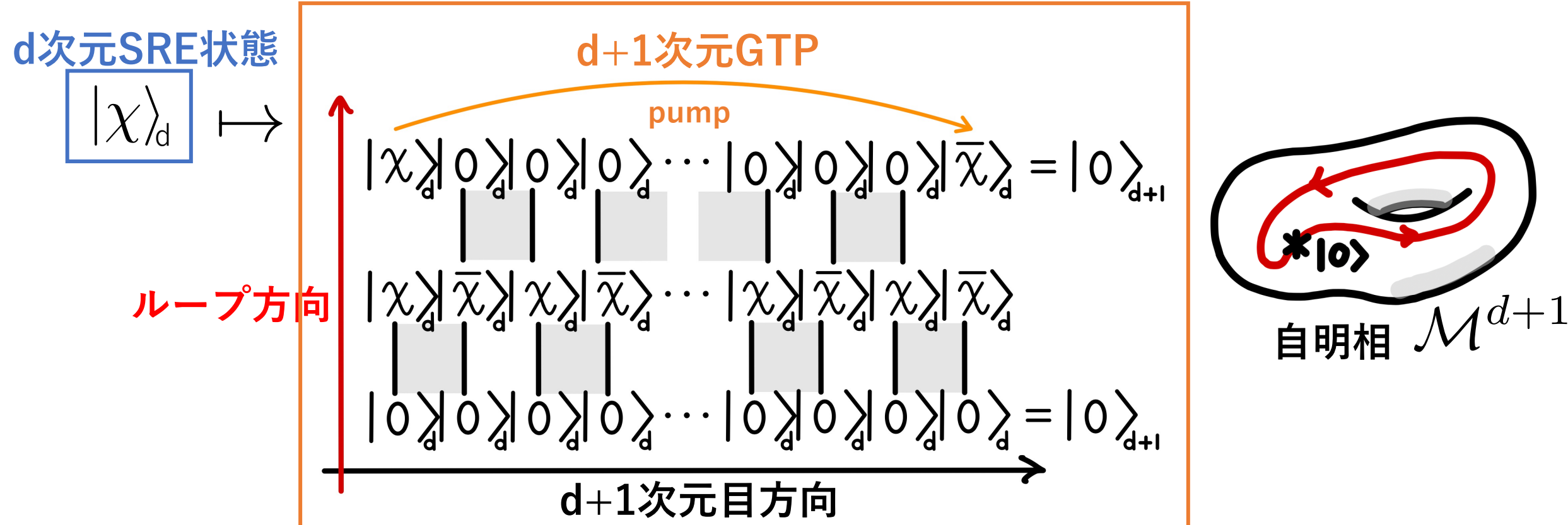
$d+1$ 次元の自明相におけるGTPを構成する:



要点①  $\mathcal{M}^{d+1}$  のループは **d+1次元のGTP** を与える.

# 自明相におけるGTP : Kitaevの予想

$d+1$ 次元の自明相におけるGTPを構成する:



要点①  $\mathcal{M}^{d+1}$  のループは  $d+1$  次元の GTP を与える.

要点②  $d+1$  次元の GTP は  $d$  次元の SRE 状態で分類される.(Kitaevの予想)

bosonic MPS with sym. G

# bosonic SRE with symmetry G

$\mathcal{H}$ に対するGの表現を固定する：

$$\hat{U} \curvearrowright \mathcal{H} : \text{unitaryかつlinear s.t. } \hat{U}(g) = \bigotimes_j \hat{u}(g)$$

injective MPSに対するGの作用は以下の通り：

$$\begin{aligned}\hat{U}(g) |\{A^i\}\rangle &= \sum \text{tr}(A^{i_1} \cdots A^{i_L}) |i_1^g, \dots, i_L^g\rangle \quad |i^g\rangle := \hat{u}(g) |i\rangle \\ \hat{u}(g) |i\rangle &= \sum_j |j\rangle [u(g)]_{j,i} \quad (g \cdot A)^j = \sum_j [u(g)]_{j,i} A^i \\ &= \sum_j \text{tr}((g \cdot A)^{i_1} \cdots (g \cdot A)^{i_L}) |i_1, \dots, i_L\rangle = |\{(g \cdot A)^i\}\rangle\end{aligned}$$

従ってG対称性を持つinjective MPSは以下の条件を満たす：

$$|\{A^i\}\rangle \propto |\{(g \cdot A)^i\}\rangle \Leftrightarrow e^{i\phi(g)} \in \text{U}(1), U(g) \in \text{U}(n) \text{ s.t. } (g \cdot A)^i = e^{i\phi(g)} U(g) A^i U(g)^\dagger.$$

$e^{i\phi(g)}$  は一意,  $U(g)$  はup to  $\text{U}(1)$  phaseで一意で,  $U(g)$  はGの射影表現.

$\{(\{A^i\}, e^{i\phi(\bullet)}, U(\bullet)) \mid \text{s.t. 上の条件を満たす}\}$  をG-sym. inj. matricesと呼ぶ

# 不变量の構成のアイデア

$\{A^i(\theta), u(\theta)\}_{\theta \in [0, 2\pi]}$  に対して不变量を構成したい.

0+1次元系におけるBerry位相 :

ファイバー  $\mathbb{C}$  : 状態の位相



全空間  $\mathcal{L}$



低空間  $X$  : parameter空間

Berry接続/曲率 =  $\mathcal{L}$  のtopology

1+1次元系におけるPump不变量 :

ファイバー  $A$  :  $\mathbb{Z}/2$ -gr. CSA

**G-sym. CSA**

全空間  $\mathcal{A}$



低空間  $X$  : parameter空間

Pump不变量 =  $\mathcal{A}$  のtopology

$A$  の変換関数は何か?  $\Leftrightarrow |\{A^i, u\}\rangle \propto |\{A'^i, u'\}\rangle$  の時  $\{A^i\}$  と  $\{A'^i\}$  の関係は?

$$|(\{A^i\}, e^{i\phi(\bullet)}, U(\bullet))\rangle \propto |(\{A'^i\}, e^{i\phi'(\bullet)}, U'(\bullet))\rangle$$

# G-sym. eq. MPS の変換関数.

$$\langle \{A^i\}, e^{i\varphi(\cdot)}, [U(\cdot)] \rangle \propto \langle \{A^i\}, e^{i\varphi(\cdot)}, U'(\cdot) \rangle$$

$\Leftrightarrow \exists! e^{i\beta} \in U(1)$ ,  $\exists V \in U(n)$ : unique up to  $U(1)$  phase

$$\text{s.t. } A^i = e^{i\beta} V A^i V^\dagger. \quad \cdots \star$$

$$\star \quad (= g. \text{ と み て と } e^{i\varphi(g)}. U(g) \cdot A^i U(g)^\dagger = e^{i\beta} V U(g) A^i U(g)^\dagger V^\dagger$$

$$\begin{aligned} \Leftrightarrow A^i &= \underbrace{e^{i(\beta-i\varphi(g)+i\varphi(g))}}_{=} \cdot \underbrace{U(g)VU(g)^\dagger}_{=} \cdot \underbrace{A^i}_{=} \cdot \underbrace{(U(g)VU(g)^\dagger)^\dagger}_{= \eta(g). V} \quad (\because \text{uniqueness}) \\ &= e^{i\beta} \quad (\because \text{uniqueness}) \end{aligned}$$

$$\text{特 } (= U(gh)VU(gh)^\dagger = \eta(gh)V \Leftrightarrow e^{i\omega(g,h)} U(g)U(h)V e^{-i\omega(g,h)} (U(g)U(h))^\dagger = \eta(gh)V$$

$$\Leftrightarrow e^{i\omega(g,h)} = e^{i\omega(g,h)} \cdot e^{i\delta\chi(g,h)} \Rightarrow [e^{i\omega}] = [e^{i\omega'}].$$

$\Rightarrow$   $V, V'$  の phase  $\Sigma$   $e^{i\omega} = e^{i\omega'} \Leftrightarrow \exists \alpha \in \mathbb{C}^n$  使得  $\alpha^* \eta(g) \in Z'(G; U(1))$

# G-sym. inj. MPS o pump inv.

①  $X_\alpha$  open covering  $\{U_\alpha\}$   $\exists \epsilon$ .

②  $e^{i\text{curl}} \in Z^2(G; U(1))$   $\exists$  fixed.

③  $(A_\alpha^\beta, e_\alpha^\beta, [U_\alpha])$  on  $U_\alpha$   $\vdash$   $\exists$ .

$U_\alpha$  a phase  $\epsilon$ .  $U_\alpha(g)U_\alpha(h) = e^{i\text{curl}} U_\alpha(gh)$

$\epsilon$   $\exists$   $\exists$   $\exists$ .

④ fundamental thm  $\Rightarrow$ ,  $\eta_{\alpha\beta} \in Z^1(G; U(1))$   
 $\eta_{\alpha\beta} = \delta_{\alpha\beta}$ .

$$[\eta] := \pi[\eta_{\alpha\beta}] \in H^1(G; U(1))$$

